

**Chinese Society of Comparative Pathology**

中華民國比較病理學會

第 95 次比較病理學研討會暨會員大會

中樞和周圍神經和肌肉疾病病理專題



主辦單位

**Chinese Society of Comparative Pathology**

中華民國比較病理學會

國立臺灣大學獸醫專業學院

中華民國 115 年 4 月 11 日 (April 11, 2026)

# SCHEDULE

## 95<sup>th</sup> MEETING OF COMPARATIVE PATHOLOGY

中華民國比較病理學會 第 95 次比較病理學研討會暨會員大會

### 中樞和周圍神經和肌肉疾病病理討論會

時間：115 年 4 月 11 日（星期六）

地點：國立台灣大學獸醫三館地下一樓演講廳 B01

電話：02-33663873

Time (時間)	Schedule (議程)		Moderator (主持)
8:50~9:20	Registration (報到)		
9:20~9:30	Opening Ceremony (致詞)		
9:30~10:30	專題演講	主講：國立中興大學獸醫系 張佳瑜 助理教授 題目：The genetic evolution of African swine fever virus in Asia	張俊梁 理事長
10:30~11:00	Coffee Break (合照)		
11:00~12:00	專題演講	主講：三軍總醫院 病理部實驗病理科 李耀豐 主任 題目：重塑腦腫瘤診斷：DNA 甲基化分型於臨床實踐與台灣推動經驗	張晏禎 秘書長
12:00~14:00	會員大會、第十一屆理監事選舉及第十一屆第一次理監事會議		
14:00~14:30	Case 629	<b>Tsai, Yi-Ting (蔡伊婷), DVM, MS, DCSVP<sup>1</sup>; Yu, I-Shing (游益興), PhD<sup>1</sup>; Kung, Hsiu-Ni (龔秀妮), PhD<sup>1</sup></b> <sup>1</sup> Laboratory Animal Center, College of Medicine, National Taiwan University (國立台灣大學醫學院實驗動物中心) 題目：Medulloblastoma	賴銘淙 理事
14:30~15:00	Case 630	<b>Shih, Chia-Wen (施洽雯), MD, MS<sup>1</sup>; Luo, Yang-Lan (羅揚嵐), MD<sup>2</sup></b> <sup>1</sup> Department of Pathology, Lotung Poh-Ai Hospital (羅東博愛醫院 病理科) <sup>2</sup> Department of Neurosurgery, Lotung Poh-Ai Hospital (羅東博愛醫院 神經外科) 題目：Atypical meningioma	劉振軒 常務理事
15:30~15:30	Coffee Break		
15:30~16:00	Case 631	<b>Shieh, Yu-Han (謝宇涵), DVM, MS<sup>1</sup>; Tsai, Chiung-Ying (蔡瓊英), DVM, MS<sup>2</sup>; Lin, Chiao-Hsuan (林喬萱), DVM<sup>2</sup>; Chang, Yen-Chen (張晏禎), DVM, PhD<sup>1</sup></b> <sup>1</sup> Graduate Institute of Molecular and Comparative Pathobiology, School of Veterinary Medicine, National Taiwan University (國立台灣大學獸醫專業學院分子暨比較病理生物學研究所) <sup>2</sup> The National Taiwan University Veterinary Hospital (國立台灣大學生物資源暨農學院附設動物醫院)	邱慧英 常務理事

	題目：Neuronal ceroid lipofuscinosis	
16:00~16:30	General Discussion (綜合討論)	理事長

# 目 錄

SCHEDULE.....	1
SPECIAL LECTURE I (專題演講 I).....	4
SPECIAL LECTURE II (專題演講 II).....	6
CASE DIAGNOSIS .....	8
CASE NUMBER: 629 .....	9
CASE NUMBER: 630 .....	13
CASE NUMBER: 631 .....	19
中華民國比較病理學會章程 .....	24
中華民國比較病理學會 第十屆理監事簡歷冊 .....	29
中華民國比較病理學會 會員名單 .....	31
中華民國比較病理學會 115 年度工作計劃.....	34
中華民國比較病理學會 115 年度工作報告.....	35
中華民國比較病理學會資料庫使用須知 .....	36
比較病理研討會病例分類一覽表 .....	37
腫瘤 .....	37
細菌 .....	54
病毒 .....	57
黴菌 (含藻類) .....	60
寄生蟲 (含原蟲) .....	62
立克次體 .....	64
其他 .....	64
會員資料更新服務 .....	70
入會辦法 .....	71
中華民國比較病理學會入會申請及會員卡 .....	72

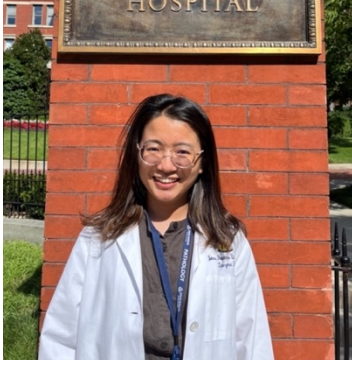
# Special Lecture I (專題演講 I)

## The Genetic Evolution of African Swine Fever Virus in Asia

國立中興大學獸醫系

張佳瑜 助理教授

African swine fever (ASF) is a highly lethal viral disease affecting domestic pigs and wild boars, causing substantial economic losses to the global swine industry. The causative agent, African swine fever virus (ASFV), is a large double-stranded DNA virus with a complex genome and strong environmental stability. To date, more than 24 genotypes of ASFV have been identified based on the sequence of B646L (p72) gene, reflecting its considerable genetic diversity. In recent years, the continued spread of genotype I (GI) and genotype II (GII) ASFV across Asia has led to the emergence of recombinant strains. These GI/GII recombinant ASFV (rASFV I/II) have been increasingly reported in field outbreaks and are now considered one of the most significant threats to swine industry. Evidence suggests that co-circulation and co-infection of different genotypes may facilitate genetic recombination, resulting in viruses with altered virulence, transmissibility, and immune evasion capabilities. Understanding the genetic diversity and evolutionary dynamics of ASFV, particularly the emergence of GI/GII recombinant strains, is critical for improving surveillance, refining diagnostic approaches, and informing the development of effective control strategies. The increasing outbreaks of these recombinant strains in Asia highlight their growing importance as a major threat to field conditions and underscores the need for continued research and coordinated disease management efforts.



# 張佳瑜

## Chia-Yu Chang

### 現職:

國立中興大學獸醫學系 助理教授

### 學歷:

國立臺灣大學獸醫所博士

國立臺灣大學分子暨比較病理學研究所碩士直升博士

國立臺灣大學獸醫學系學士

### 經歷:

2022-2022 美國約翰霍普金斯大學醫學院病理所 博士後研究員

2021-2022 西班牙農業食品科學研究所動物健康中心 博士後研究員

2020-2021 中央研究院 生物化學所 博士後研究員

### 論文選錄

1. Marín-Moraleda D, Muñoz-Basagoiti J, Tort-Miró A, Navas MJ, Muñoz M, Vidal E, Cobos À, Martín-Mur B, Meas S, Motuzova V, Chia-Yu Chang, Marta Gut, Francesc Accensi, Sonia Pina-Pedrero, José Ignacio Núñez, Anna Esteve-Codina, Boris Gavrilov, Fernando Rodriguez, Lihong Liu, Jordi Argilagué. Elucidating the Onset of Cross-Protective Immunity after Intranasal Vaccination with the Attenuated African Swine Fever Vaccine Candidate BA71ΔCD2. *Vaccines*, 12(5):517. (2024)
2. Joan Pujols, Elena Blázquez, Joaquim Segalés, Fernando Rodríguez, Chia-Yu Chang, Jordi Argilagué, Laia Bosch-Camós, Rosa Rosell, Lola Pailler-García, Boris Gavrilov, Joy Campbell, Javier Polo. Feeding Spray-Dried Porcine Plasma to Pigs Improves the Protection Afforded by the African Swine Fever Virus (ASFV) BA71ΔCD2 Vaccine Prototype against Experimental Challenge with the Pandemic ASFV—Study 2. *Vaccines*, 11(4), 825. (2023)

## Special Lecture II (專題演講 II)

### 重塑腦腫瘤診斷：DNA 甲基化分型於臨床實踐與台灣推動經驗

Redefining Brain Tumor Diagnostics: Clinical Implementation of DNA Methylation Profiling and the Taiwan Experience

李耀豐主任

三軍總醫院 病理部實驗病理科

本演講將分享台灣病理學界於腦腫瘤診斷中導入 DNA methylation profiling 之實務經驗與發展現況。隨著分子病理技術進步，傳統以組織形態為主之診斷模式已逐步轉型為整合形態學與分子分類之精準診斷架構。DNA 甲基化分型已被證實可有效提升中樞神經系統腫瘤之分類準確性，特別是在組織學模糊或罕見腫瘤之診斷上，具有關鍵輔助價值。

本次演講將介紹台灣病理學會在推動甲基化晶片應用於臨床診斷之歷程，包括檢測流程建立、品質控管、資料分析平台（如 DKFZ classifier 與 NIH classifier）之整合，以及跨機構合作經驗。同時亦將分享實際案例，說明此技術如何在困難診斷情境中提供決策支持，並探討其在臨床預後評估與治療策略上的潛在影響。

此外，演講亦將討論目前推廣過程中所面臨之挑戰，包括成本、技術門檻、報告標準化及臨床接受度等議題，並提出未來發展方向，期望透過學會平台促進國內分子病理診斷之標準化與普及化，進一步提升腦腫瘤診療品質。



## 李耀豐

### 現職：

教育部部定副教授；三軍總醫院病理部主治醫師；三軍總醫院實驗病理實驗室主任；三軍總醫院電子顯微鏡室主任

### 學歷：

國防醫學院醫學系醫學士  
英國倫敦大學兒童健康研究博士

### 經歷：

2015 - 2019 英國倫敦大學學院兒童健康研究所博士訓練  
2015 - 2019 英國 Great Ormond Street Hospital 組織病理科臨床觀察員  
2012 - 2014 三軍總醫院病理部研究醫師 (Fellow)  
2007 - 2012 三軍總醫院病理部住院醫師

### 論文選錄

1. Feng SW, Chang PC, Chen HY, Hueng DY, Li YF\*, Huang SM\*. Exploring the Mechanism of Adjuvant Treatment of Glioblastoma Using Temozolomide and Metformin. *Int J Mol Sci.* 2022;23(15).
2. Li YF, Scerif F, Picker SR, Stone TJ, Pickles JC, Moulding DA, et al. Identifying cellular signalling molecules in developmental disorders of the brain: Evidence from focal cortical dysplasia and tuberous sclerosis. *Neuropathol Appl Neurobiol.* 2021.
3. Song WS, Chang PC, Hueng DY, Li YF\*. TMEM106A as a macrophage-associated biomarker of prognosis in IDH-wildtype glioma: integrative multi-omics and spatial analyses. *Cancer Med.* 2025;14(23):e71454.
4. Liu T, Lin YC, Chang PC, Hueng DY, Li YF\*. Dissecting PTPN7-driven aggressiveness in IDH-wildtype astrocytomas: multi-omics, clinical validation, and spatial transcriptomics for prognostic insights. *Discov Oncol.* 2025;16(1):914.
5. Hsu WW, Song WS, Chang PC, Hueng DY, Li YF\*. COL22A1 expression identifies aggressive glioma and independently predicts survival through integrated multiomics and clinical validation. *Discov Oncol.* 2025;16(1):1945.

# Case Diagnosis

## 95<sup>th</sup> MEETING OF COMPARATIVE PATHOLOGY

中華民國比較病理學會 第 95 次比較病理學研討會暨會員大會

中樞和周圍神經和肌肉疾病

民國 115 年 4 月 11 日

(閱片網址: <http://140.120.114.107/slidecenter.php?id=578>)

Case No.	Presenter	Slide No.	Diagnosis
Case 629	蔡依婷	105024B	Medulloblastoma <a href="http://140.120.114.107/ivp_slide_view.php?id=2676">http://140.120.114.107/ivp_slide_view.php?id=2676</a>
Case 630	施洽雯	LP2313705	Atypical meningioma <a href="http://140.120.114.107/ivp_slide_view.php?id=2674">http://140.120.114.107/ivp_slide_view.php?id=2674</a>
Case 631	張晏禎	NTU2020-0417	Neuronal ceroid lipofuscinosis <a href="http://140.120.114.107/ivp_slide_view.php?id=2675">http://140.120.114.107/ivp_slide_view.php?id=2675</a>

**Case Number: 629**

**Slide Number: 105024B**

**Slide View: [http://140.120.114.107/ivp\\_slide\\_view.php?id=2676](http://140.120.114.107/ivp_slide_view.php?id=2676)**



**蔡伊婷**

**Yi-Ting Tsai**

**現職:**

台大醫學院實驗動物中心 病理獸醫師

**學歷:**

國立中興大學獸醫學系學士

國立中興大學獸醫病理生物學研究所碩士

**經歷:**

中華民國獸醫病理專科獸醫師

**論文選錄:**

1. Lin HT, Yen GC, Lee WC, Tsai YT, Wu JH, Yeh SD, Cheng YH, Chang SC, Liao JW. Repeated Dose 90-Day Feeding Study of Whole Fruits of Genetically Modified Papaya Resistant to Papaya Ringspot Virus in Rats. *J Agric Food Chem* 63: 1286-1292, 2015.
2. Lin HT, Lee WC, Tsai YT, Wu JH, Yen GC, Yeh SD, Cheng YH, Chang SC, Liao JW. Subchronic Immunotoxicity Assessment of Genetically Modified Virus-Resistant Papaya in Rats. *J Agric Food Chem* 64: 5935-5940, 2016.
3. Chang YC, Lee HL, Yang W, Hsieh ML, Liu CC, Lee TY, Huang JY, Nong JY, Li FA, Chuang HL, Ding ZZ, Su WL, Chueh LY, Tsai YT, Chen CH, Mochly-Rosen D, Chuang LM. A common East-Asian ALDH2 mutation causes metabolic disorders and the therapeutic effect of ALDH2 activators. *Nat Commun* 14: 5971, 2023.
4. 蔡伊婷、游益興、張家宜、龔秀妮。Brca1 條件式基因剔除小鼠之鱗狀細胞癌及哈氏腺癌。114 年度組織病理研討會專輯。P.99-101。2025。

**Tsai, Yi-Ting (蔡伊婷), DVM, MS, DCSVP1; Yu, I-Shing (游益興), PhD1; Kung, Hsiu-Ni (龔秀妮), PhD1\***

<sup>1</sup> Laboratory Animal Center, College of Medicine, National Taiwan University (國立台灣大學醫學院實驗動物中心)

## **CASE HISTORY:**

**Signalment:** A 6-month-old, female, *Ptch1*<sup>+/-</sup> mouse

The mouse was housed in facility barrier located at NTUCM Laboratory Animal Center. During daily health checks, the animal care staff observed that the mouse exhibited cranial protrusion and loss of righting reflex.

## **CASE RESULT:**

### **Gross Findings:**

The mouse showed cranial protrusion. A cerebellar mass was present in the posterior cranial fossa.

### **Histopathological Findings:**

The non-encapsulated mass arises from the cerebellum and compresses the fourth ventricle and adjacent brain parenchyma. The small, blue, round tumor cells are arranged in densely packed sheets with palisading pattern and rosette formation. Frequently, the neoplastic cells palisade around a central fibrillar material (Homer Wright rosettes). Occasionally, neoplastic cells also palisade around the capillaries (perivascular pseudorosettes). A majority of neoplastic cells have scant eosinophilic cytoplasm and round, oval to polygonal nuclei containing coarsely stippled chromatin. Some neoplastic cells have small, hyperchromatic nuclei, which resemble cerebellar granule cells. Anisocytosis and anisokaryosis are moderate. There are 14 mitotic figures in ten high-power fields. Areas of necrosis and hemorrhage are present.

**Pathological Diagnosis:** Medulloblastoma

### **Differential diagnosis:**

1. Ependymoma
2. Pineoblastoma

### **Discussion:**

Medulloblastoma, one of the central nervous system embryonal tumors arising from the cerebellum, is the most common pediatric malignant brain tumor<sup>1</sup>. In human medicine, according to the fourth edition of the WHO Classification of Tumors of the Central Nervous System, medulloblastomas were classified according to “genetically defined” as well as “histologically defined” categories. Genetically-defined categories include WNT activated, SHH-activated TP53 wildtype, SHH-activated TP53-mutant, and non-WNT/non-SHH (group 3 and group 4).

Histologically defined categories include classic, desmoplastic/nodular, medulloblastoma with extensive nodularity and large cell/anaplastic<sup>4</sup>. The majority of medulloblastomas have classic morphology, marked by a so-called “small round blue cell” appearance. Only a minority of classic medulloblastomas contain well-developed Homer Wright rosettes. Desmoplastic/nodular medulloblastomas demonstrate nodular zones of moderately-cellular tumor surrounded by regions of dense cellularity and intercellular reticulin, imparting a packeted appearance. Medulloblastoma with extensive nodularity also features nodular architecture but should demonstrate larger nodules containing more differentiated-appearing tumor cells. Large cell/anaplastic medulloblastomas are defined by a large cell appearance with prominent nucleoli, and/or cytologic anaplasia consisting of nuclear enlargement, marked pleomorphism, and cell-cell wrapping<sup>2</sup>. In the fifth edition of the WHO Classification of Tumors of the Central Nervous System, through large-scale methylation and transcriptome profiling, new subgroups have emerged at a more granular level below the 4 principal molecular groups: 4 subgroups of SHH and 8 subgroups of non-WNT/non-SHH medulloblastomas. Histologically defined categories have now been combined into 1 section that describes them as morphologic patterns of an inclusive tumor type, Medulloblastoma, histologically defined. The morphologic differences have their own specific clinical associations, and molecularly defined medulloblastomas demonstrate distinct associations with the morphologic patterns. Given their heterogeneity and the need to classify medulloblastomas according to a combination of histopathological and molecular features, these tumors should be reported in a layered and integrated format<sup>5</sup>.

To study and treat medulloblastoma, numerous mouse models have been established. In SHH-activated medulloblastoma, germline mouse models that harbour heterozygous deletion of the *Ptch1* gene (i.e., *Ptch1*<sup>+/-</sup>), encoding an essential negative regulator of the sonic hedgehog (SHH) pathway, develop aberrant clusters of granule neuron precursors, so-called ‘preneoplastic hyperplasia’. In 14% of these animals, these clusters continue malignant transformation and form full-blown SHH medulloblastoma between 12 and 25 weeks<sup>3,9</sup>. The efficiency of tumor development<sup>3</sup> can be increased by inducing conditional homozygous *Ptch1* deletion in relevant stem/progenitor cell populations<sup>8,9</sup> or by breeding *Ptch1*<sup>+/-</sup> mice to a *Trp53*-null background, which is also seen in a proportion of patients with highly aggressive human SHH medulloblastoma<sup>7,9</sup>.

In human medicine, SHH-activated medulloblastomas probably derive from a population of external granule cell neurons of the cerebellum. Generally, SHH-activated medulloblastomas occur in a bimodal age distribution, most commonly affecting infants and adults. While desmoplastic/nodular morphology is the most frequent in the SHH group, the group also encompasses classic, medulloblastoma with extensive nodularity and large cell/anaplastic morphologies<sup>2</sup>. While *Ptch1*<sup>+/-</sup> mice mimic the germline mutations found in humans with Gorlin-Goltz syndrome, the medulloblastomas generated in *Ptch1*<sup>+/-</sup> mouse model predominantly exhibit classic morphology, primarily model the non-infant (adult) variant of the disease, and fail to recapitulate the desmoplastic/nodular and medulloblastoma with extensive nodularity morphologies frequently seen in human pediatric cases. Therefore, human-derived models, such as Patient-Derived Xenografts

(PDX), are more reliable for preclinical drug testing as they tend to retain the genome, epigenome, and transcriptome of the original human cases<sup>6</sup>.

### References:

1. Choi JY. Medulloblastoma: Current Perspectives and Recent Advances. *Brain Tumor Res Treat* 11: 28-38, 2023.
2. Cotter JA, Hawkins C. Medulloblastoma: WHO 2021 and Beyond. *Pediatr Dev Pathol* 25: 23-33, 2022.
3. Goodrich LV, Milenković L, Higgins KM, Scott MP. Altered neural cell fates and medulloblastoma in mouse patched mutants. *Science* 277: 1109-1113, 1997.
4. Louis DN, Perry A, Reifenberger G, von Deimling A, Figarella-Branger D, Cavenee WK, Ohgaki H, Wiestler OD, Kleihues P, Ellison DW. The 2016 World Health Organization Classification of Tumors of the Central Nervous System: a summary. *Acta Neuropathol* 131: 803-820, 2016.
5. Louis DN, Perry A, Wesseling P, Brat DJ, Cree IA, Figarella-Branger D, Hawkins C, Ng HK, Pfister SM, Reifenberger G, Soffietti R, von Deimling A, Ellison DW. The 2021 WHO Classification of Tumors of the Central Nervous System: a summary. *Neuro Oncol* 23: 1231-1251, 2021.
6. Neumann JE, Swartling FJ, Schüller U. Medulloblastoma: experimental models and reality. *Acta Neuropathol* 134: 679-689, 2017.
7. Wetmore C, Eberhart DE, Curran T. Loss of p53 but not ARF accelerates medulloblastoma in mice heterozygous for patched. *Cancer Res* 61: 513-516, 2001.
8. Yang ZJ, Ellis T, Markant SL, Read TA, Kessler JD, Bourboulas M, Schüller U, Machold R, Fishell G, Rowitch DH, Wainwright BJ, Wechsler-Reya RJ. Medulloblastoma can be initiated by deletion of Patched in lineage-restricted progenitors or stem cells. *Cancer Cell* 14: 135-145, 2008.
9. Zuckermann M, Hovestadt V, Knobbe-Thomsen CB, Zapatka M, Northcott PA, Schramm K, Belic J, Jones DT, Tschida B, Moriarity B, Largaespada D, Roussel MF, Korshunov A, Reifenberger G, Pfister SM, Lichter P, Kawauchi D, Gronych J. Somatic CRISPR/Cas9-mediated tumour suppressor disruption enables versatile brain tumour modelling. *Nat Commun* 6: 7391, 2015.

**Case Number: 630**

**Slide Number: LP2313705**

**Slide View: [http://140.120.114.107/ivp\\_slide\\_view.php?id=2674](http://140.120.114.107/ivp_slide_view.php?id=2674)**



施洽雯

**Chia-wen Shih**

**現職:**

Chief of the Department of Pathology, Lo-Tung Poh-Ai Hospital

**學歷:**

1975-1981 Chung-Shan Medical University.

1986-1988 Institute of Pathology, National Deference University.

**經歷:**

1983-1985 Resident of the Department of Internal Medicine, Show-Chwan Memorial Hospital.

1988-1989 Resident of the Department of Pathology, Tri-Service General Hospital.

1989-1990 Chief resident of the Department of Pathology, Chung-Shan Medical University Hospital.

1990-1993 Chief of the Department of Pathology, Chung-Shan Medical University.

1993-present Chief of the Department of Pathology, Lo-Tung Poh-Ai Hospital.

1989-1990 Lecture, Chung-Shan Medical Univaersity.

1990-1993 Associate Professor, Chung-Shan Medical Univaersity.

1995-2022 Associate Professor, Tzu Chi University.

**論文選錄:**

1. Chiang MF, Tseng TK, Shih CW, Yang TH, Wu SY. Clinical and contrast-enhanced image features in the prediction model for the detection of small hepatocellular carcinomas. J Cancer. 2020 Oct 18;11(24):7166-7175. doi: 10.7150/jca.47245. PMID: 33193879; PMCID: PMC7646160.
2. Tsai, Yu-Hsiang, Chia-Wen Shih, and Ching-Wen Chiang. "Nasal Glomus Tumor Presenting as Epistaxis-Case Report." 台灣耳鼻喉頭頸外科雜誌 55.4 (2020): 214-217. airiti Library. Web. 13 Nov. 2023. doi:10.6286/jtohn.202012\_55(4).214

**Shih, Chia-Wen (施洽雯), MD, MS<sup>1</sup>; Luo, Yang-Lan (羅揚嵐), MD<sup>2</sup>**

<sup>1</sup> Department of Pathology, Lotung Poh-Ai Hospital (羅東博愛醫院病理科)

<sup>2</sup> Department of Neurosurgery, Lotung Poh-Ai Hospital (羅東博愛醫院神經外科)

## **CASE HISTORY:**

**Signalment:** 61-year-old female

### **Clinical History:**

A 61-year-old female who has a past medical history of migraine for a long time and regular follow up at Neurology OPD of Lo-Tung Poh-Ai Hospital. He has diabetes mellitus (DM) history with diet control. No history of hypertension, cardiovascular disease (CVD), chronic obstructive pulmonary disease (COPD) and other medical disease. The patient complained exacerbation of headache for days. Physical examination showed clear consciousness. GCS: E4V5M6. Pupils were R.3.0mm L.3.0mm. light reflex were +/+, no motor weakness. Brain CT was performed on 2023/09/27 and showed a 32mm high density mass in the right frontal lobe with perifocal edema, mass effect, midline shift 7 mm to the left side. Brain tumor such as meningioma is considered. The patient was referred to the department of neurosurgery for further management. Craniotomy with tumor excision was performed on 2023/10/12. The specimens were sent to the department of pathology for pathologic diagnosis. The specimen submitted consisted of 18 tissue fragments and measuring 4.3 x 3.5 x 1.2 cm.

### **Clinical Pathology:**

BUN: 11 mg/dL (6-20 mg/dL), Creatinine: 0.8 mg/dL (0.5-1.1 mg/dL), Glucose: 114 mg/dL (70-100 mg/dL), AST: 17 U/L (5-40 U/L), ALT: 14 U/L (5-40 U/L), RBC: 3.90 x10<sup>6</sup>/uL (4.2-5.4x10<sup>6</sup>/uL), Hb: 12.2 gm/dL (12.0-16.0 gm/dL), Hct: 36.1 % (37-47%), Plt: 22.2 x10<sup>4</sup>/dL (15-40 x10<sup>4</sup>/dL), WBC: 4.8 x10<sup>3</sup>/uL (4.5x10<sup>3</sup>- 11.0x 10<sup>3</sup>/uL).

## **CASE RESULT:**

### **Histopathologic Findings:**

Histopathologically, the tumor cells are arranged in a lobular or nest-like shape, with vortex-like structure in the local areas. The tumor cells were mild irregular in size and shape with medium-size nuclei, abundant cytoplasm, mild increase of mitotic figures, and areas of tumor necrosis. The arrangement of tumor cells has lost the swirl-like structure, the cell density is high with rough chromatin and inconspicuous of obvious nucleoli. Areas of the tumor showed fusiform tumor cells, arranged in a flake, bundle or whirlpool shape, with an unclear cell boundary.

### **Immunohistochemistry:**

Sections of tissue specimen were subjected for immunohistochemical evaluation. On immunohistochemical analysis, the tumor cells were positive for vimentin, EMA and SSTR2 and negative for PR, S-100, and GFAP.

**Diagnosis:** Atypical meningioma (WHO, meningioma, grade 2)

**Differential diagnosis:**

1. Meningioma
2. Astrocytoma
3. Ependymoma

**Discussion:**

Meningioma is the most common primary CNS tumor, arising from meninges including dura mater, arachnoid and pia mater, accounting for 30-35% all CNS tumors. Meningiomas can arise from the dura at any site; most commonly the skull vault, from the skull base, and at sites of dural reflections. Less commonly, they arise from the cerebellopontine angle (CPA). The risk factor of meningioma including 1). Age: more prevalent in older adults aged 65 and above. 2). Radiation exposure: Individuals who have undergone radiotherapy directly targeting the head or those who have accidentally been exposed to radiation. 3). Genetics: Individuals with the hereditary condition neurofibromatosis type 2. 4). Race or ethnicity: In the United States, black individuals exhibit higher rates of meningioma occurrence compared to their white counterparts. Moreover, meningioma is more prevalent in Africa than in North America or Europe. Although many meningiomas are asymptomatic and found incidentally, symptoms, when present, vary and depend on both the location of the mass and the time course over which the tumor grows. The general symptoms of meningioma including frequent headaches, dizziness, nausea and vomiting, alterations in vision, such as double vision, blurred vision, or vision loss, hearing impairment, seizures, sudden changes in behavior or personality, memory loss, overactive or hyperresponsive reflexes (hyperreflexia), muscle weakness in specific areas, unexplainable weakness. Overall, the most common presenting symptoms are headache and seizures.

According to the WHO 2016 histological standards, atypical meningioma (AM) is defined as WHO grade II, placing it between benign meningioma (WHO grade I) and anaplastic meningioma (WHO grade III). Grade II and III meningiomas were more common in men. The median age of diagnosis in Grade II and III was 57 years old, which were younger than grade I. Three grades exist based on 2021 WHO criteria: 70-80% are WHO grade 1 (benign). Most are slow growing tumors. 20 - 25% are WHO grade 2 (increased likelihood of recurrence). 1 - 6% are WHO grade 3 (malignant with metastatic potential). The 2021 WHO classification of meningiomas describes grade 2 (atypical) meningiomas as having one major feature (4-19 mitotic figures / 10 high power field or brain invasion) or 3 out of 5 minor features (small cells with high N/C ratio, large and prominent nucleoli, patternless or sheet-like growth, foci of spontaneous or geographic necrosis). Clear cell meningiomas and

chordoid meningiomas are considered to be a rare variant of meningioma and also defined as grade II meningioma. Many meningiomas with one or 2 atypical features, but not enough to fulfill the criteria to be atypical meningioma are reported as grade 1 meningioma. With the adoption of the revised 2007 WHO grading system, grade I meningiomas account for 65–80% of all newly diagnosed meningiomas, grade II accounts for 20–35%, and grade III account for < 3%. For decades prior to the 2007 revision of the WHO grading system, only 5% of meningiomas were identified as WHO grade II. With this major epidemiological change in the incidence of WHO grade II meningiomas.

The growth mode of AM is mainly infiltrative growth. During tumor growth, the surrounding arachnoid and cerebral pia mater are gradually destroyed, and the tumor cells further invade brain tissue. Brain invasion, a high mitotic index, and sheet distribution of tumor cells are significantly associated with shorter disease free survival (DFS) and have a higher risk of meningioma recurrence. In the absence of brain invasion or a high mitotic index, the recurrence rate of AM is low.

Immunocytochemistry staining is a necessary auxiliary means for pathological diagnosis, which can distinguish AM from gliomas, neurogenic tumors, mesenchymal tumors, and some metastatic tumors. Both EMA and vimentin are the preferred auxiliary diagnostic markers for meningioma. EMA is a specific marker of epithelial tissues. Most meningiomas express EMA, and the expression index decreases in high-risk meningiomas (WHO grade II, grade III). Vimentin is a specific marker of mesenchymal tissue. It is positive in almost all meningiomas, especially in high-risk meningioma (WHO grade II, III) and the expression index rises, showing diffuse positivity. S-100 and GFAP are both acidic proteins distributed in the nervous system. A finding of negative S-100 and negative GFAP can usually rule out neuroepithelial tumors. Although histological diagnosis and grading remains the current gold standard for diagnosing meningioma, molecular techniques are increasingly used for diagnosing meningioma pathogenesis, development, and the hypothesis of treatment and diagnosis. Studies have confirmed that NF2 mutations and/or chromosome 22 deletions play a key role in the occurrence of AMs and it has been suggested that DNA methylation profile can stratify tumor behavior more accurately.

Ajlan et al reported 74 patients with WHO grade 2 meningioma which represented almost one-third of all meningioma cases done in the period between January 2008 and December 2020 (35.2%). Age ranged from 9 to 83 (Mean  $51.7 \pm 14.2$ ) years. Forty-eight patients (64.9%) of patients were females and 26 (35.1%) were males. Sixty patients (81.1%) were diagnosed with AM, 12 patients (16.2%) were diagnosed with chordoid meningioma, and 2 patients (2.7%) were diagnosed with clear cell meningioma. Tumor size was <5 cm in 49 patients (69%) and 5 cm or more in 25 patients (31%).

MRI is currently the most used imaging examination method to diagnose meningioma, and meningioma can be evaluated by parameters such as T1 and T2 weighting, diffusion weighting, and the apparent diffusion coefficient (ADC). It is generally believed that the following MRI features are helpful in the preoperative diagnosis of AMs: 1) the signal is mostly uneven, and the enhanced scan shows obvious uniform enhancement or uneven enhancement; 2) the edges are mostly irregular, mushroom-shaped, lobulated, and the boundary with the adjacent brain tissue is not clear; 3) large areas of edema signal shadow are found around the focal area; 4) the volume is generally large, or

the tumor increases obviously in a short time. The AMs in the current study largely exhibited these MRI imaging features. An asymptomatic meningioma can be followed with serial MRI scans to assess for growth. This approach may be used in patients with advanced age or comorbidities that preclude surgery; radiosurgery may also be considered in this population. If surgical resection is planned, the goal is maximum removal of the tumor with wide excision of the dural attachment, avoiding injury to involved cranial nerves, and resection of hyperostotic bone which can contain infiltrative tumor. Maximum safe tumor resection and dural attachment remain the treatment goals for meningioma, with complete resection of the tumor being associated with lower recurrence rates in many studies. The degree of surgical resection was a major factor affecting the prognosis of patients and total resection was identified as an independent prognostic factor for the survival by Champeaux et al. Total resection of AMs results in a longer overall survival and progression-free survival. Incomplete resection is associated with higher recurrence rates, particularly among grade II and III meningiomas. The recurrence rate for grade 2 meningiomas widely varies. It has been reported as low as 4.3%, and as high as 69%.

#### **References:**

1. Backer-Grøndahl T, Moen BH, Torp SH. The histopathological spectrum of human meningiomas. *Int J Clin Exp Pathol* 2012; 5: 231.
2. Louis DN, Perry A, Wesseling P, Brat DJ, Cree IA, FigarellaBranger D, et al. The 2021 WHO classification of tumors of the central nervous system: a summary. *Neuro Oncol* 2021; 23: 1231-1251.
3. Champeaux, D. Houston, L. Dunn, Atypical meningioma. A study on recurrence and disease-specific survival, *Neurochirurgie* 63 (4) (2017) 273–281.,
4. Ostrom QT, Cioffi G, Gittleman H, Patil N, Waite K, Kruchko C, et al. CBTRUS statistical report: primary brain and other central nervous system tumors diagnosed in the United States in 2012–2016. *Neuro-oncology* 2019; 21: v1-v100.
5. Mair R, Morris K, Scott I, Carroll TA. Radiotherapy for atypical meningiomas. *J Neurosurg* 2011; 115: 811-819.
6. J. Wiemels, M. Wrensch, E.B. Claus, Epidemiology and etiology of meningioma, *J. Neurooncol.* 99 (3) (2010) 307–314.
7. Buttrick S, Shah AH, Komotar RJ, Ivan ME. Management of atypical and anaplastic meningiomas. *Neurosurg Clin N Am* 2016; 27: 239-247.
8. Couce M, Aker F, Scheithauer B. Chordoid meningioma: a clinicopathologic study of 42 cases. *Am J Surg Pathol* 2000; 24: 899-905.
9. Spille DC, Heß K, Sauerland C, Sanai N, Stummer W, Paulus W, et al. Brain invasion in meningiomas: incidence and correlations with clinical variables and prognosis. *World Neurosurg* 2016; 93: 346-354.
10. Mawrin C, Perry A. Pathological classification and molecular genetics of meningiomas. *J Neurooncol* 2010; 99: 379-391.

11. S.H. Park, H. Kano, A. Niranjana, et al., Stereotactic radiosurgery for cerebellopontine angle meningiomas, *J. Neurosurg.* 120 (2013) 708–715,
12. Hale AT, Wang L, Strother MK, Chambless LB. Differentiating meningioma grade by imaging features on magnetic resonance imaging. *J Clin Neurosci* 2018; 48: 71-75.
13. Ros-Sanjuan A, Iglesias-Moroño S, Carrasco-Brenes A, Bautista-Ojeda D, Arraez-Sanchez MA. Atypical meningiomas: histologic and clinical factors associated with recurrence. *World Neurosurg* 2019; 125: e248-e256.
14. Jenkinson MD, Weber DC, Haylock BJ, Mallucci CL, Zakaria R, Javadpour M. Atypical meningioma: current management dilemmas and prospective clinical trials. *Journal of neurooncology* 2015; 121: 1-7.
15. D.J. Englot, S.T. Magill, S.J. Han, et al., Seizures in supratentorial meningioma: a systematic review and meta-analysis, *J. Neurosurg.* 124 (6) (2016) 1552–1561,
16. Ruiz J, Martínez A, Hernández S, Zimman H, Ferrer M, Fernández C, et al. Clinicopathological variables, immunophenotype, chromosome 1p36 loss and tumour recurrence of 247 meningiomas grade I and II. *Histol Histopathol* 2010; 25: 341-349.
17. S. Hasan, M. Young, T. Albert, et al., The role of adjuvant radiotherapy after gross total resection of atypical meningiomas, *World Neurosurg.* 83 (5) (2015) 808–815,
18. L. Rogers, I. Barani, M. Chamberlain, T.J. Kaley, M. McDermott, J. Raizer, et al., Meningiomas: knowledge base, treatment outcomes, and uncertainties. A RANO review, *J. Neurosurg.* 122 (2015) 4–23,
19. Kim D, Niemierko A, Hwang WL, Stemmer-Rachamimov AO, Curry WT, Barker FG, et al. Histopathological prognostic factors of recurrence following definitive therapy for atypical and malignant meningiomas. *J Neurosurg* 2018; 128: 1123-1132.
20. Nanda A, Bir SC, Konar S, Maiti T, Kalakoti P, Jacobsohn JA, et al. Outcome of resection of WHO Grade II meningioma and correlation of pathological and radiological predictive factors for recurrence. *J Clin Neurosc* 2016; 31: 112-121.
21. Champeaux C, Jecko V, Houston D, et al. Malignant Meningioma: An International Multicentre Retrospective Study. *Neurosurgery* 2019;85:E461-69

**Case Number: 631**

**Slide Number: NTU2020-0417**

**Slide View: [http://140.120.114.107/ivp\\_slide\\_view.php?id=2675](http://140.120.114.107/ivp_slide_view.php?id=2675)**



**張晏禎**

**Yen-Chen Chang**

**現職:**

國立台灣大學獸醫專業學院分子暨比較病理生物學研究所 副教授

**學歷:**

國立中興大學獸醫學系 學士

國立台灣大學獸醫專業學院分子暨比較病理生物學研究所 碩士

國立台灣大學獸醫專業學院獸醫所 博士

**經歷:**

2018-2019 中央研究院生物化學所 博士後研究

2019-2024 國立台灣大學獸醫專業學院分子暨比較病理生物學研究所 助理教授

**論文選錄:**

1. Lee CF, YC Chang and HW Chang. 2024. Circulating lineage 3 recombination with NADC30-like and NADC34-like Betaarterivirus suid 2 in Taiwan. *Transbound. Emerg. Dis.* <https://doi.org/10.1155/2024/6682052> (2024)
2. Lu CH, Yu SH, Wu CH, Yeh J LS, Chang HW, Jeng CR, Chang YC. Effects of selective cyclooxygenase-2 inhibitor robenacoxib on primary cells derived from feline injection-site sarcoma. *Journal of Cellular and Molecular Medicine*, 27(15):2183-2193. doi: 10.1111/jcmm.17717 (2023).
3. Wang HY, Wu MC, Chen HW, Lai YC, Huang WH, Chang HW, Jeng CR, Cheng CH, Wang PJ, Lai YH, Chang YC. Isolation, full sequence analysis, and in situ hybridization of pigeon paramyxovirus-1 genotype VI.2.1.1.2.2 from oriental turtle doves (*Streptopelia orientalis*). *Poultry Science*, 102: 102974 (2023).
4. Cheng-Hsin Shih, Yen-Chen Chang, Yun-Chiang Lai and Hue-Ying Chiou. Investigating the role of signal transducer and activator of transcription 3 in feline injection site sarcoma. *BMC Vet Res.* 18:276 <https://doi.org/10.1186/s12917-022-03352-y> (2022).

**Shieh, Yu-Han (謝宇涵), DVM, MS<sup>1</sup>; Tsai, Chiung-Ying (蔡瓊英), DVM, MS<sup>2</sup>; Lin, Chiao-Hsuan (林喬萱), DVM, MS<sup>2</sup>; Chang, Yen-Chen (張晏禎), DVM, PhD<sup>1</sup>**

<sup>1</sup> Graduate Institute of Molecular and Comparative Pathobiology, School of Veterinary Medicine, National Taiwan University (國立台灣大學獸醫專業學院分子暨比較病理生物學研究所)

<sup>2</sup> The National Taiwan University Veterinary Hospital (國立台灣大學生物資源暨農學院附設動物醫院)

## **CASE HISTORY:**

**Signalment:** A 2-year-old, female spayed, domestic short hair cat

The young cat with progressing neurological signs and severe seizure was transferred to NTUVH for emergent MRI scanning. MR image showed generalized symmetrical cerebral and cerebellar atrophy and ventricular dilation. Owing to poor seizure control and prognosis, the patient was euthanized and submitted for necropsy.

## **Gross Findings:**

External examination revealed that the animal was in a well nutritional condition with adequate muscle mass without obvious trauma. When opening the thoracic cavity, the pericardial sac was markedly dilated and filled with approximately 2.3 mL dark red, clear effusion. The bilateral cranial and middle lung lobes near the bronchi were dark red and collapsed with periphery emphysema. There were little catarrhal to mucoid excretion accumulated in bronchi. In the abdominal cavity, there was a 0.5 x 0.5 cm white plaque at edge of the left medial liver lobe. Spleen was mildly enlarged. The size of cerebrum was slightly decreased. The bilateral ventricles were slightly dilated, and multiple areas of parenchyma became mildly semitransparent. There were no macroscopic lesions in heart, kidneys, adrenal glands, thyroid glands and gastrointestinal tracts.

## **CASE RESULT:**

### **Histopathological Findings:**

Cerebrum and cerebellum:

Diffuse, marked necrosis extends from the molecular layer to the outer granular layer. This is characterized by loosely arranged neuropil and an infiltration of hypertrophic and hyperplastic astrocytes exhibiting increased eosinophilic cytoplasm. Perivascular edema, with varying amounts of fibrin deposited within the Virchow-Robin spaces, is also present. Cerebral cortical neurons appear either swollen or shrunken, containing various pale to hypereosinophilic, foamy to glassy, and coarse to botryoid intracytoplasmic granules. These accumulations frequently displace the nucleus peripherally. These granules are highlighted by FITC-fluorescence, Periodic Acid-Schiff (PAS), and Sudan black B stains. In swollen neurons, the axons are often swollen. The hypertrophied astrocytes also engulf these granules. Multifocally, low to moderate numbers of macrophages, bearing similar

foamy granular cytoplasm and peripheralized nuclei, expand the Virchow-Robin spaces. Within the hippocampus, the neuropil is edematous, and neurons are swollen and granule-filled. Similar involvement is noted in the neurons of the diencephalon, mesencephalon, and brainstem, as well as the Purkinje cells of the cerebellum. Amorphous hypereosinophilic granules are occasionally observed accumulating in the brainstem neuropil. Segmented atrophy of the cerebellar granular layer is also present. Finally, the meningeal fibrous tissue is diffusely loosened, expanded by edematous fluid, and infiltrated by small numbers of lymphocytes, plasma cells, and macrophages.

**Pathological Diagnosis:** Neuronal ceroid lipofuscinosis (NCL)

**Differential diagnosis:**

1. Sphingolipidoses
2. Glycoproteinoses
3. Mucopolysaccharidoses
4. Glycogenoses
5. Mucolipidoses
6. Lafora disease

**Discussion:**

Lysosomal storage diseases (LSDs) represent a complex group of over 50 inherited metabolic disorders characterized by the progressive accumulation of undigested macromolecules within the endosomal-lysosomal system. These conditions arise from genetic mutations leading to deficiencies in lysosomal hydrolases, membrane transporters, or accessory proteins, which disrupts the cell's primary degradative and recycling machinery. While individually rare, the collective incidence of LSDs is significant in both human and veterinary medicine, frequently manifesting as severe neurodegenerative, skeletal, and visceral pathologies. In particular, the shared genetic etiology and clinical progression between human patients and naturally occurring animal models underscore a critical perspective in comparative pathology.

The sphingolipidoses, such as Gaucher and Krabbe disease, primarily disrupt lipid catabolism within the myelin sheath or macrophages, leading to profound demyelination and organomegaly. In contrast, the mucopolysaccharidoses and glycoproteinoses are driven by the impaired degradation of complex sugars and oligosaccharides, manifesting as severe skeletal dysplasias, corneal clouding, and connective tissue defects. The neuronal ceroid lipofuscinoses (NCL) represent a unique category defined by the sequestration of autofluorescent lipopigments, which triggers rapid, selective neuronal apoptosis and clinical blindness. Finally, lipid transport disorders like Niemann-Pick Type C highlight the lysosome's role in nutrient trafficking, where defects in cholesterol-shuttling proteins result in a systemic "traffic jam" of unesterified lipids. Collectively, these diseases demonstrate a shared pathophysiology of lysosomal failure that spans from the specialized storage of wear-and-tear pigments to the global disruption of cellular homeostasis across both human and veterinary

populations.

Neuronal ceroid lipofuscinosis comprises a group of recessively inherited, progressive neurodegenerative lysosomal storage diseases. These disorders are characterized by the intracellular accumulation of autofluorescent lipopigments, specifically ceroid and lipofuscin, within the central nervous system (CNS) and peripheral tissues. In veterinary medicine, NCL has been documented in various species, most notably in dogs, but also in cats, sheep, cattle, and horses. While no specific gene defect has been recognized in cats to date, NCL is highly suspected to be an inherited condition in this species. The pathogenesis of NCL involves mutations in various genes, historically labeled CLN1 through CLN14 in humans, that encode lysosomal enzymes, transmembrane proteins, or cytosolic proteins. These genetic defects lead to the failure of lysosomal degradation pathways, resulting in the massive accumulation of storage material within neurons. This progressive buildup eventually leads to widespread neuronal loss and cortical atrophy. It is now a consensus that NCLs in humans are associated with protein defects similar to those identified in canine and ovine models. Affected animals typically present with a clinical history of progressive psychomotor degeneration, including cognitive decline, motor dysfunction (ataxia), vision loss (amaurosis), and seizures. In the present case, the neurological clinical signs and severe widespread degenerative encephalomyelopathy are consistent with a diagnosis of NCL.

Pathologically, the hallmark of the disease is the presence of eosinophilic to yellowish-granular, autofluorescent cytoplasmic inclusions within neurons. However, a definitive diagnosis requires electron microscopic examination to identify characteristic ultrastructural patterns. These patterns include curvilinear bodies, fingerprint profiles and granular osmiophilic deposits (GRODs). The specific pattern observed depends on the underlying genetic mutation and the chemical composition of the stored material, such as subunit c of ATP synthase or sphingolipid activator proteins (SAP-A and SAP-D). Ultrastructural identification is also critical to differentiate NCL from other lysosomal storage diseases, such as gangliosidoses or mannosidoses.

In human medicine, NCLs (Batten disease) are increasingly classified using a "genetically defined" approach, similar to the integrated reporting systems now used for CNS tumors like medulloblastoma. CLN2 (Late-Infantile) is caused by TPP1 deficiency and results in rapid neurodegeneration with the presence of curvilinear bodies. This is closely modeled in Dachshunds with TPP1 mutations. CLN3 (Juvenile) is the most common human form, characterized by early vision loss and fingerprint profiles. In dogs, such as the Tibetan Terrier, mutations in ATP13A2 (CLN12) or CLN3 homologs result in similar motor and cognitive decline.

Spontaneous animal models, particularly canine ones, are indispensable for bridging the gap between experimental research and clinical reality. Unlike induced rodent models, these large animal variants more accurately recapitulate the complex genome, epigenome, and transcriptome of human pediatric cases. They serve as critical platforms for evaluating novel interventions, including gene therapy and enzyme replacement therapy, underscoring the vital role of comparative pathology in the global effort to treat neurodegenerative diseases. Specifically, canine models, such as the Border Collie and Tibetan Terrier, have provided significant insights into the comparative pathology of these

disorders.

### References:

1. Bond M, Holzmüller M, Keating MK, et al. Neuronal ceroid lipofuscinosis in a German Shorthaired Pointer associated with a novel CLN2 mutation. *J Vet Intern Med* 34: 2580-2585, 2020.
2. Choi JY. Medulloblastoma: Current Perspectives and Recent Advances. *Brain Tumor Res Treat* 11: 28-38, 2023.
3. Cotter JA, Hawkins C. Medulloblastoma: WHO 2021 and Beyond. *Pediatr Dev Pathol* 25: 23-33, 2022.
4. Katz ML, Sanders DN, Johnson GS. Animal models for the neuronal ceroid lipofuscinoses. *Biochim Biophys Acta* 1852: 2267-2278, 2015.
5. Louis DN, et al. The 2021 WHO Classification of Tumors of the Central Nervous System: a summary. *Neuro Oncol* 23: 1231-1251, 2021.
6. Mole SE, Williams RE, Goebel HH. *The Neuronal Ceroid Lipofuscinoses (Batten Disease)*. 2nd ed. Oxford University Press, 2011.
7. Neumann JE, Swartling FJ, Schüller U. Medulloblastoma: experimental models and reality. *Acta Neuropathol* 134: 679-689, 2017.
8. Palmeri AD, Richmond AK, Beckstead MW, et al. Clinical and pathologic features of neuronal ceroid lipofuscinosis in animals. *Vet Pathol* 58: 12-24, 2021.
9. Sanders DN, Farias FH, Johnson GS, et al. A mutation in ATP13A2 is associated with a progressive neurodegenerative disease in Tibetan Terriers. *J Vet Intern Med* 24: 1074-1080, 2010.
10. Wohlke A, Philipp U, Bock P, et al. A one base pair deletion in the canine ATP13A2 gene causes profound neuronal ceroid lipofuscinosis in Tibetan Terriers. *PLoS Genet* 7: e1002304, 2011.
11. Yang ZJ, et al. Medulloblastoma can be initiated by deletion of Patched in lineage-restricted progenitors or stem cells. *Cancer Cell* 14: 135-145, 2008.

# 中華民國比較病理學會章程

## 第一章 總則

- 第一條 本會定名為中華民國比較病理學會，英文名稱為 Chinese Society of Comparative Pathology (CSCP) (以下簡稱本會)。
- 第二條 本會依內政部人民團體法設立，為非營利目的之社會團體，以結合人類醫學與動物醫學資源，提倡比較病理學之研究與發展，交換研究教學心得，聯絡會員友誼及促進國際間比較醫學之交流為宗旨。
- 第三條 本會以全國行政區域為組織區域，會址設於主管機關所在地區，並得報經主管機關核准設主分支機構。前項分支機構組織簡則由理事會擬訂，報請主管機關核准後行之。會址及分支機構之地址於設置及變更時應報請主管機關核備。
- 第四條 本會之任務如左：
- 一、 提倡比較病理學之研究與發展。
  - 二、 舉辦學術演講會、研討會及相關訓練課程。
  - 三、 建立國內比較醫學相關資料庫。
  - 四、 發行比較病理學相關刊物。
  - 五、 促進國內、外比較醫學之交流。
  - 六、 其他有關比較病理學術發展之事項。
- 第五條 本會之主管機關為內政部。目的事業主管機關依章程所訂之宗旨與任務，主要為行政院衛生署及農業委員會，其目的事業應受各該事業主管機關之指導與監督。

## 第二章 會員

- 第六條 本會會員申請資格如下：
- 一、 一般會員：贊同本會宗旨，年滿二十歲，具有國內外大專院校(或同等學歷)生命科學及其它相關科系畢業資格或高職畢業從事生命科學相關工作滿兩年者。
  - 二、 學生會員：贊同本會宗旨，在國內、外大專院校生命科學或其它相關科系肄業者(檢附學生身份證明)。
  - 三、 贊助會員：贊助本會工作之團體或個人。

四、 榮譽會員：凡對比較病理學術或會務之推展有特殊貢獻，經理事會提名並經會員大會通過者。

前項一、二、三項會員申請時應填具入會申請書，經一般會員二人之推薦，經理事會通過，並繳納會費。學生會員身份改變成一般會員時，得再補繳一般會員入會費之差額後，即成為一般會員，榮譽會員免繳入會費與常年會費。

第七條 一般會員有表決權、選舉權、被選舉與罷免權，每一會員為一權。贊助會員、學生會員與榮譽會員無前項權利。

第八條 會員有遵守本會章程、決議及繳納會費之義務。

第九條 會員有違反法令、章程或不遵守會員大會決議時，得經理事會決議，予以警告或停權處分，其危害團體情節重大者，得經會員大會決議予以除名。

第十條 會員喪失會員資格或經會員大會決議除名者，即為出會。

第十一條 會員得以書面敘明理由向本會聲明退會。但入會費與當年所應繳納的常年會費不得申請退費。

### 第三章 組織及職員

第十二條 本會以會員大會為最高權力機構。

第十三條 會員大會之職權如下：

- 一、 訂定與變更章程。
- 二、 選舉及罷免理事、監事。
- 三、 議決入會費、常年會費、事業費及會員捐款之方式。
- 四、 議決年度工作計畫、報告、預算及決算。
- 五、 議決會員之除名處置。
- 六、 議決財產之處分。
- 七、 議決本會之解散。
- 八、 議決與會員權利義務有關之其他重大事項。

前項第八款重大事項之範圍由理事會訂定之。

第十四條 本會置理事十五人，監事五人，由會員選舉之，分別成立理事會、監事會。選舉前項理事、監事時，依計票情形得同時選出候補理事五人，候補監事一人，理事或監事出缺時，分別依序遞補之。

本屆理事會得提出下屆理事及監事候選人參考名單。

第十五條 理事會之職權如下：

- 一、 審定會員之資格。
- 二、 選舉及罷免常務理事及理事長。

- 三、 議決理事、常務理事及理事長之辭職。
- 四、 聘免工作人員。
- 五、 擬訂年度工作計畫、報告、預算及決算。
- 六、 其他應執行事項。

第十六條 理監事置常務理事五人，由理事互選之，並由理事就常務理事中選舉一人為理事長。

理事長對內綜理監督會議，對外代表本會，並擔任會員大會、理事會主席。

理事長因事不能執行職務時，應指定常務理事一人代理之，未指定或不能指定時，由常務理事互推一人代理之。

理事長或常務理事出缺時，應於一個月內補選之。

第十七條 監事會之職權如左：

- 一、 監察理事會工作之執行。
- 二、 審核年度決算。
- 三、 選舉及罷免常務監事。
- 四、 議決監事及常務監事之辭職。
- 五、 其他應監察事項。

第十八條 監事會置常務監事一人，由監事互選之，監察日常會務，並擔任監事會主席。

常務監事因事不能執行職務時，應指定監事一人代理之，未指定或不能指定時，由監事互推一人代理之。監事會主席（常務監事）出缺時，應於一個月內補選之。

第十九條 理事、監事均為無給職，任期三年，連選得連任。理事長之連任以一次為限。

第二十條 理事、監事有下列情事之一者，應即解任：

- 一、 喪失會員資格。
- 二、 因故辭職經理事會或監事會決議通過者。
- 三、 被罷免或撤免者。
- 四、 受停權處分期間逾任期二分之一者。

第二十一條 本會置祕書長一人，承理事長之命處理本會事務，令置其他工作人員若干人，由理事長提名經理事會通過後聘免之，並報主管機關備查。但祕書長之解聘應先報主管機關核備。

前項工作人員不得由選任之職員（理監事）擔任。

工作人員權責及分層負責事項由理事會令另定之。

第二十二條 本會得設各種委員會、小組或其它內部作業組織，其組織簡則由理事會擬定，報經主機關核備後施行，變更時亦同。

第二十三條 本會得由理事會聘請無給顧問若干人，其聘期與理事、監事之任期同。

## 第四章 會議

第二十四條 會員大會分定期會議與臨時會議兩種，由理事長召集，召集時除緊急事故之臨時會議外應於十五日前以書面通知之。定期會議每年召開一次，臨時會議於理事會過半數認為必要，或經會員五分之一以上之請，或監事會半數函請召集時召開之。

第二十五條 會員不能親自出席會員大會時，得以書面委託其他會員代理，每一會員以代理一人為限。

第二十六條 會員大會之決議，以出席人數過半之同意行之。但章程之訂定與變更、會員之除名、理事及監事之罷免、財產之處置、本會之解散及其他與會權利義務有關之重大事項應有出席人數三分之二以上同意。但本會如果辦理法人登後，章程之變更應以出席人數四分之三以上之同或全體會員三分之二以上書面之同意行之。

第二十七條 理事會及監事會至少每六個月各舉行會議一次，必要時得召開聯席會議或臨時會議。

前項會議召集時除臨時會議外。應於七日以前以書面通知，會議之決議各以理事、監事過半數之出席，出席人較多數之同意行之。

第二十八條 理事應出席理事會議，監事應出席監事會議，不得委託出席；理事、監事連續二次無故缺席理事會、監事會者，視同辭職。

## 第五章 經費及會計

第二十九條 本會經費來源如下：

- 一、入會費：一般會員新台幣壹仟元，學生會員壹佰元，贊助會員伍仟元，於入會時繳納。
- 二、常年會費：一般會員新台幣壹仟元，學生會員壹佰元。
- 三、事業費。
- 四、會員捐款。
- 五、委託收益。
- 六、基金及其孳息。
- 七、其他收入。

第三十條 本會會計年度以國曆年為準，自每年一月一日起至十二月三十一日止。

第三十一條 本會每年於會計年度開始前二個月由理事會編造年度工作計劃、收支預算表、員工待遇表，提會員大會通過（會員大會因故未能如期召開者，先提理監事聯

席會議通過），於會計年度開始前報主管機關核備。並於會計年度終了後二個月內由理事會編造年度工作報告、收支決算表、現金出納表、資產負債表、財產目錄及基金收支表，送監事會審核後，造具審核意見書送還理事會，提會員大會通過，於三月底前報主管機關核備（會員大會未能如期召開者，需先報主管機關備查）。

第三十二條 本會解散後，剩餘財產歸屬所在地之地方自治團體或主管機關指定之機關團體所有。

第三十三條 本章程未規定事項，悉依有關法令規定辦理。

第三十四條 本章程經大會通過，報經主管機關核備後施行，變更時亦同。

第三十五條 本章程經本會民國八十五年二月四日第一屆第一次會員大會通過，並報經內政部 85 年 3 月 14 日台(85)內社字第 8507009 號函准予備查。

## 中華民國比較病理學會 第十屆理監事簡歷冊

序號	職別	姓名	性別	學歷	經歷	現任本職
1	理事長	張俊梁	男	國防醫學院醫學科學研究所博士	國防醫學院兼任助理教授	國軍桃園總醫院病理檢驗部兼任主治醫師/台北榮民總醫院桃園分院兼任主治醫師/銘傳大學、國防醫學院兼任教授
2	常務理事	邱慧英	女	國立台大獸醫專業學院博士	台灣養豬科學研究所	國立中興大學獸醫病理生物學研究所副教授
3	常務理事	張惠雯	女	國立臺灣大學獸醫專業學院博士	美國哈佛醫學院博士後	台灣大學分子暨比較病理生物學研究所副教授
4	常務理事	陳燕麟	男	輔仁大學化學研究所博士	日本國立神經精神中心研究員	三軍總醫院病理部主治醫師/國防醫學院助理教授
5	常務理事	劉振軒	男	美國加州大學戴維斯校區比較病理學博士	國立臺灣大學獸醫專業學院院長	台灣大學分子暨比較病理生物學研究所兼任教授
6	理事	江家璋	男	國立臺灣大學獸醫專業學院碩士		霍普獸醫病理專科醫院病理獸醫師
7	理事	林永和	男	國立台大病理研究所碩士	台北醫學院病理科講師	台北醫學院病理科副教授
8	理事	張皓凱	男	國立中興大學獸醫病理學研究所碩士		立眾病理實驗室主任 病理獸醫
9	理事	彭奕仁	男	國防醫學院醫學科學研究所博士	美國西雅圖華盛頓大學病理研究員	三軍總醫院病理部主任/國防醫學院病理及寄生蟲研究所所長/副教授
10	理事	黃威翔	男	國立臺灣大學獸醫專業學院博士		台灣大學分子暨比較病理生物學研究所副教授
11	理事	賈敏原	男	國立臺灣大學獸醫專業學院博士	國衛院研究員	國立中興大學獸醫系副教授
12	理事	鄭明芳	男	國立陽明大學口腔生物研究所博士	三軍總醫院病理部主治醫師	國軍花蓮總醫院組織臨床病理科主任
13	理事	賴銘淙	男	清華大學生命科學院博士	彰濱秀傳紀念醫院病理科主任	衛生福利部臺中醫院病理學科主任/中山醫學大學病理科副教授
14	理事	簡耀君	男	國立臺灣大學獸醫專業學院碩士	長青動物醫院病理部主任	長青動物醫院病理部主任

15	常務監事	陳姿妤	女	國立中興大學獸醫病理學研究所碩士	生技中心研究員	財團法人國家實驗研究院國家實驗動物中心副技術師
16	監事	朱旆億	男	國立臺灣大學醫學系/國立臺灣大學獸醫專業學院博士	輔仁大學醫學系兼任助理教授	彰化秀傳紀念醫院病理科主任
17	監事	施洽雯	男	國立國防醫學院病理研究所	中山醫學院病理科副教授	羅東博愛醫院病理科主任
18	監事	廖俊旺	男	國立台灣大學獸醫學研究所博士	農業藥物毒物試驗所應用毒理組副研究員	國立中興大學獸醫病理生物學研究所教授
19	監事	鄭謙仁	男	美國北卡羅萊納州立大學博士	台灣大學獸醫學系教授兼院長	台灣大學分子暨比較病理生物學研究所教授
20	秘書長	張晏禎	女	國立臺灣大學獸醫專業學院博士	中央研究院博士後	台灣大學分子暨比較病理生物學研究所助理教授

## 中華民國比較病理學會會員名單

排序	會員編號	姓名	類別	備註
1	A00002	劉振軒	常務理事	
2	A00015	廖俊旺	監事	
3	A00022	蔡睦宗	一般會員	停權
4	A00041	許永祥		歿
5	A00061	鄭謙仁	監事	
6	A00069	阮正雄	一般會員	
7	A00071	祝志平	一般會員	停權
8	A00074	李進成	一般會員	停權
9	A00076	施洽雯	監事	
10	A00087	林正忠	一般會員	停權
11	A00105	林永和	理事	停權
12	A00143	賴銘淙	理事	
13	A00262	楊俊宏	一般會員	停權
14	A00268	張俊梁	理事長	
15	A00286	江蓉華	一般會員	停權
16	A00288	蔡慧玲	一般會員	
17	A00294	魯懿萍	一般會員	停權
18	A00296	朱旆億	理事	停權
19	A00297	蔡懷德	一般會員	停權
20	A00299	林以樂	一般會員	停權
21	A00303	張文發		歿
22	A00305	黃心宏	一般會員	停權
23	A00310	邱慧英	常務理事	
24	A00311	白馨	一般會員	停權
25	A00313	江家瑋	理事	
26	A00314	張惠雯	常務理事	
27	A00315	陳佳其	一般會員	停權
28	A00316	施正心	一般會員	停權
29	A00317	楊伊平	一般會員	
30	A00319	蔣克新	一般會員	停權
31	A00320	蔡清龍	一般會員	停權
32	A00321	吳佳樺	一般會員	停權
33	A00322	簡耀君	理事	
34	A00323	陳彥伯	一般會員	停權
35	A00324	黃馨頤	一般會員	停權
36	A00325	陳姿妤	常務監事	
37	A00326	賈敏原	理事	
38	A00327	鄭明芳	理事	
39	A00328	彭奕仁	理事	
40	A00329	李育翰	一般會員	停權
41	A00330	陳燕麟	常務理事	停權

42	A00331	許志勤	一般會員	
43	A00332	于知仁	一般會員	停權
44	A00333	何佳霖	一般會員	
45	A00334	蔡雨倫	一般會員	停權
46	A00335	林宜信	一般會員	停權
47	A00336	陳縱宇	一般會員	停權
48	A00337	郭建均	一般會員	停權
49	A00338	周品君	一般會員	停權
50	A00339	陳威廷	一般會員	停權
51	A00340	高郁茜	一般會員	停權
52	A00341	趙曉梅	一般會員	停權
53	A00342	洪義文	一般會員	停權
54	A00343	羅雅文	一般會員	停權
55	A00344	黃威翔	理事	
56	A00345	郭軒	一般會員	停權
57	A00346	徐治平	一般會員	停權
58	A00347	何永傳	一般會員	
59	A00348	曹文恬	一般會員	
60	A00349	羅怡琪	一般會員	
61	A00350	張晏禎	秘書長	
62	A00351	陳謙豪	一般會員	停權
63	A00352	邱泓錫	一般會員	停權
64	A00353	黃泰堂	一般會員	停權
65	A00354	田永田	一般會員	停權
66	A00355	杭仁鈺	一般會員	停權
67	A00356	張皓凱	理事	停權
68	A00357	林東衛	一般會員	停權
69	A00358	吳保樹	一般會員	停權
70	A00359	徐治平	一般會員	
71	A00360	張權星	一般會員	停權
72	A00361	陳以瑛	一般會員	停權
73	A00362	楊馥華	一般會員	
74	A00363	林秉郁	一般會員	停權
75	A00364	彭曉婷	一般會員	停權
76	A00365	向家珍	一般會員	停權
77	A00366	李勻	一般會員	停權
78	A00367	廖淑惠	一般會員	停權
79	A00368	林鈺傑	一般會員	停權
80	A00369	蔡文銓	一般會員	停權
81	A00370	劉千惠	一般會員	
82	A00371	黃昱翔	一般會員	
83	A00372	鄭允涵	一般會員	停權
84		郭展佑	學生會員	
84	A00373	林家威	一般會員	

85		蔡卓諺	學生會員	
86		陳湘淳	學生會員	
87		楊詠勻	學生會員	
88	A00374	高啟霏	一般會員	
89	A00375	薛人華	一般會員	

## 中華民國比較病理學會 115 年度工作計劃

### 一、 會務

#### (一) 徵求會員

### 二、 持續進行學會推廣及會員招募，擴大會員陣容，

#### (一) 整理會籍與清查會費

1. 更新整理會籍資料，並製作會員通訊錄

2. 清查會員繳費狀況，進行催繳，缺繳三年以上徹底實行停權

#### (二) 召開會議：召開會員大會一次，審查 115 年度工作報告與經費收支狀況，研議 115 年度之工作計劃及預算

#### (三) 學術活動：持續辦理三次研討會，並邀請國內外專家學者做學術性的演講

### 三、 業務

#### (一) 繳納會費

#### (二) 文書處理

#### (三) 整理與更新會員信箱，刪除無效信箱

#### (四) 病例資料處理：掃描研討會議病例切片，供會員研究教學使用

#### (五) 研討會活動照片、會員狀態及網頁維護更新

#### (六) 進行獸醫再教育學分申請，協助會員學分認證

# 中華民國比較病理學會 115 年度工作報告

## 一、 召開會員大會、理監事會議、舉辦學術研討會

### (一) 會員大會

1. 第十屆第三次會員大會於 115 年 4 月 11 日於台大獸醫專業學院召開。

### (二) 理監事會議

1. 第十一屆第一次理監事會議於 115 年 4 月 11 日於台大獸醫專業學院召開。

## 二、 舉辦學術演講

### (一) 第 95 次比較病理研討會邀請專題演講：

1. 國立中興大學獸醫學院 張佳瑜教授：

2. 三軍總醫院 病理部實驗病理科 李耀豐主任

## 三、 舉辦學術病理切片病例討論

(一) 於第 95 次比較病理研討會共有 3 個單位提供 3 個病例供會員討論。

## 四、 架設學會網站（網址：<http://www.ivp.nchu.edu.tw/cscp/>）

(一) 提供第 95 次比較病理研討會活動花絮照片

## 五、 獸醫師繼續教育學分認證

(一) 第 95 次比較病理研討會提供獸醫師繼續教育認證

## 中華民國比較病理學會資料庫使用須知

How-To Access Comparative Pathology Virtual Slides

Hosted at the Web Library in NTU Vet Med Digital Pathology Lab

(中華民國比較病理學會數位式組織切片影像資料庫)

Comparative Pathology glass slides are now digitalized and accessible to all participants through the internet and a web browser (see below for detail instruction).

1. Please make sure that your web browser (e.g. Internet Explorer, Firefox or Safari) is equipped with "flash player." If not, it can be added from <http://www.adobe.com/products/flashplayer/> for free.
2. Please go to the Chinese Society of Comparative Pathology web site at <http://www.ivp.nchu.edu.tw/cscp/>
3. Choose the slide images (e.g. 63<sup>rd</sup> CSCP)
4. Pick any case you'd like to read (e.g. case 435-440)

## 比較病理研討會病例分類一覽表

中華民國比較病理學會  
第一次至第九十四次比較病理學研討會病例分類一覽表

### 腫瘤

病例編號	會議場次	診 斷	動物別	提供單位
1.	1	Myxoma	Dog	美國紐約動物醫學中心
2.	1	Chordoma	Ferret	美國紐約動物醫學中心
3.	1	Ependyoblastoma	Human	長庚紀念醫院
8.	2	Synovial sarcoma	Pigeon	美國紐約動物醫學中心
18.	3	Malignant lymphoma	Human	長庚紀念醫院
19.	3	Malignant lymphoma	Wistar rat	國家實驗動物繁殖及研究中心
24.	3	Metastatic thyroid carcinoma	Human	省立新竹醫院
25.	3	Chordoma	Human	新光吳火獅紀念醫院
34.	4	Interstitial cell tumor	Dog	中興大學獸醫學系
35.	4	Carcinoid tumor	Human	長庚紀念醫院
36.	4	Hepatic carcinoid	Siamese cat	美國紐約動物醫學中心
38.	6	Pheochromocytoma	Ferret	美國紐約動物醫學中心
39.	6	Extra adrenal pheochromocytoma	Human	新光吳火獅紀念醫院
40.	6	Mammary gland fibroadenoma	Rat	國家實驗動物繁殖及研究中心
41.	6	Fibroadenoma	Human	省立豐原醫院
42.	6	Canine benign mixed type mammary gland tumor	Pointer bitch	中興大學獸醫學系
43.	6	Phyllodes tumor	Human	台中榮民總醫院
44.	6	Canine oral papilloma	Dog	台灣大學獸醫學系
45.	6	Squamous cell papilloma	Human	中國醫藥學院
47.	7	1. Lung: metastatic carcinoma associated with cryptococcal infection. 2. Liver: metastatic carcinoma. 3. Adrenal gland, right: carcinoma (primary)	Human	三軍總醫院
56.	8	Gastrointestinal stromal tumor	Human	台中榮民總醫院
59.	8	Colonic adenocarcinoma	Dog	美國紐約動物醫學中心

62.	8	Submucosal leiomyoma of stomach	Human	頭份為恭紀念醫院
64.	8	1. Adenocarcinoma of sigmoid colon 2. Old schistosomiasis of rectum	Human	省立新竹醫院
71.	9	Myelolipoma	Human	台北耕莘醫院
72.	9	Reticulum cell sarcoma	Mouse	國家實驗動物繁殖及研究中心
73.	9	Hepatocellular carcinoma	Human	新光吳火獅紀念醫院
74.	9	Hepatocellular carcinoma induced by aflatoxin B1	Wistar rats	台灣省農業藥物毒物試驗所
	10	Angiomyolipoma	Human	羅東博愛醫院
	10	Inverted papilloma of prostatic urethra	Human	省立新竹醫院
	10	Nephrogenic adenoma	Human	國泰醫院
	10	Multiple myeloma with systemic amyloidosis	Human	佛教慈濟綜合醫院
	10	Squamous cell carcinoma of renal pelvis and calyces with extension to the ureter	Human	台北病理中心
	10	Fibroepithelial polyp of the ureter	Human	台北耕莘醫院
90.	10	Clear cell sarcoma of kidney	Human	台北醫學院
93.	11	Mammary gland adenocarcinoma, complex type , with chondromucinous differentiation	Dog	台灣大學獸醫學系
94.	11	1. Breast, left, modified radical mastectomy, showing papillary carcinoma, invasive 2. Nipple, left, modified radical mastectomy, papillary carcinoma, invasive 3. Lymph node, axillary, left, lymphadenectomy, papillary carcinoma, metastatic	Human	羅東聖母醫院
95.	11	Transmissible venereal tumor	Dog	中興大學獸醫學系
96.	11	Malignant lymphoma, large cell type, diffuse, B-cell phenotype	Human	彰化基督教醫院
97.	11	Carcinosarcomas	Tiger	台灣養豬科學研究所
98.	11	Mucinous carcinoma with intraductal carcinoma	Human	省立豐原醫院

99.	11	Mammary gland adenocarcinoma, type B, with pulmonary metastasis, BALB/cBYJ mouse	Mouse	國家實驗動物繁殖及研究中心
100.	11	Malignant fibrous histiocytoma and paraffinoma	Human	中國醫藥學院
102.	11	Pleomorphic adenoma (benign mixed tumor)	Human	佛教慈濟綜合醫院
103.	13	Atypical central neurocytoma	Human	新光吳火獅紀念醫院
	13	Cardiac schwannoma	SD rat	國家實驗動物繁殖及研究中心
	13	Desmoplastic infantile ganglioglioma	Human	高雄醫學院
	13	1.Primary cerebral malignant lymphoma 2.Acquired immune deficiency syndrome	Human	台北市立仁愛醫院
	13	Schwannoma	Human	三軍總醫院
	13	Osteosarcoma	Dog	美國紐約動物醫學中心
	14	Mixed germ-cell stromal tumor, mixed sertoli cell and seminoma-like cell tumor	Dog	美國紐約動物醫學中心
	14	Krukenberg's Tumor	Human	台北病理中心
	14	Primary insular carcinoid tumor arising from cystic teratoma of ovary.	Human	花蓮慈濟綜合醫院
	14	Polypoid adenomyoma	Human	大甲李綜合醫院
	14	Gonadal stromal tumor	Human	耕莘醫院
	14	Gestational choriocarcinoma	Human	彰化基督教醫院
	14	Ovarian granulosa cell tumor	Horse	中興大學獸醫學系
	15	Kaposi's sarcoma	Human	華濟醫院
	15	Basal cell carcinoma (BCC)	Human	羅東聖母醫院
	15	Transmissible venereal tumor	Dog	臺灣大學獸醫學系
	17	Canine Glioblastoma Multiforme in Cerebellopontine Angle	Dog	中興大學獸醫病理研究所
143	18	Osteosarcoma associated with metallic implants	Dog	紐約動物醫學中心
144	18	Radiation-induced osteogenic sarcoma	Human	花蓮慈濟綜合醫院
145	18	Osteosarcoma, osteogenic	Dog	臺灣大學獸醫學系
146	18	Pleomorphic rhabdomyosarcoma	Human	行政院衛生署新竹醫院

147	18	Papillary Mesothelioma of pericardium	Leopard	屏東科大學獸醫學系
148	18	Cystic ameloblastoma	Human	台北醫學院
149	18	Giant cell tumor of bone	Canine	中興大學獸醫學院
150	18	Desmoplastic small round cell tumor (DSRCT)	Human	華濟醫院
152	18	Hepatocellular carcinoma	Human	羅東聖母醫院
158	20	Hemangiopericytoma	Human	羅東聖母醫院
160	20	Cardiac fibroma	Human	高雄醫學大學病理學科
166	21	Nephroblastoma	Rabbit	紐約動物醫學中心
168	21	Nephroblastoma	Pig	台灣動物科技研究所
169	21	Nephroblastoma with rhabdomyoblastic differentiation	Human	高雄醫學大學病理科
172	21	Spindle cell sarcoma	Human	羅東聖母醫院
174	21	Juxtaglomerular cell tumor	Human	新光醫院病理檢驗科
190	27	Angiosarcoma	Human	高雄醫學大學病理學科
192	27	Cardiac myxoma	Human	彰化基督教醫院病理科
194	27	Kasabach-Merrit syndrome	Human	慈濟醫院病理科
195	27	Metastatic hepatocellular carcinoma, right atrium	Human	新光醫院病理科
197	27	Papillary fibroelastoma of aortic valve	Human	新光醫院病理科
198	27	Extraplacental chorioangioma	Human	耕莘醫院病理科
208	30	Granulocytic sarcoma (Chloroma) of uterine cervix	Human	高雄醫學大學病理學科
210	30	Primary non-Hodgkin's lymphoma of bone, diffuse large B cell, right humerus	Human	彰化基督教醫院病理科
213	30	Lymphoma, multi-centric type	Dog	中興大學獸醫系
214	30	CD30 (Ki-1)-positive anaplastic large cell lymphoma (ALCL)	Human	新光醫院病理科
215	30	Lymphoma, mixed type	Koala	台灣大學獸醫學系
217	30	Mucosal associated lymphoid tissue (MALT) lymphoma, small intestine	Cat	臺灣大學獸醫學研究所
	31	Nasal type NK/T cell lymphoma	Human	高雄醫學大學病理科
	31	Acquired immunodeficiency syndrome	Human	慈濟醫院病理科

		(AIDS)with disseminated Kaposi's sarcoma		
	32	Epithelioid sarcoma	Human	彰化基督教醫院病理科
	32	Cutaneous B cell lymphoma, eyelid , bilateral	Human	羅東聖母醫院病理科
	32	Extramammary Paget's disease (EMPD) of the scrotum	Human	萬芳北醫皮膚科病理科
	32	Skin, back, excision, CD30+diffuse large B cell lymphoma, Soft tissue, leg , side not stated, excision, vascular leiomyoma	Human	高雄醫學大學附設醫院病理科
	34	Malignant melanoma, metastasis to intra-abdominal cavity	Human	財團法人天主教耕莘醫院病理科
	34	Vaccine-associated rhabdomyosarcoma	Cat	台灣大學獸醫學系
	34	1. Pleura: fibrous plaque 2. Lung: adenocarcinoma 3. Brain: metastatic adenocarcinoma	Human	高雄醫學大學附設中和醫院病理科
	34	1. Neurofibromatosis, type I 2. Malignant peripheral nerve sheath tumor (MPNST)	Human	花蓮慈濟醫院病理科
	35	Glioblastoma multiforme	Human	羅東聖母醫院
	35	Pineoblastoma	Wistar rat	綠色四季
	35	Chordoid meningioma	Human	高醫病理科
	35	Infiltrating lobular carcinoma of left breast with meningeal carcinomatosis and brain metastasis	Human	花蓮慈濟醫院病理科
	35	Microcystic Meningioma.	Human	耕莘醫院病理科
	36	Well-differentiated fetal adenocarcinoma without lymph node metastasis	Human	新光吳火獅紀念醫院
	36	Adenocarcinoma of lung.	Human	羅東聖母醫院
	36	Renal cell carcinoma	Canine	國立台灣大學獸醫學系 獸醫學研究所
	36	Clear cell variant of squamous cell carcinoma, lung	Human	高雄醫學大學附設中和醫院病理科
	37	Metastatic adrenal cortical carcinoma	Human	耕莘醫院病理科

	37	Hashimoto's thyroiditis with diffuse large B cell lymphoma and papillary carcinoma	Human	高雄醫學大學附設中和醫院病理科
	38	Medullar thyroid carcinoma	Canine	臺灣大學獸醫學系
	39	Merkel cell carcinoma	Human	羅東博愛醫院
	39	Cholangiocarcinoma	Human	耕莘醫院病理科
	39	Sarcomatoid carcinoma of renal pelvis	Human	花蓮慈濟醫院病理科
	39	Mammary Carcinoma	Canine	中興大學獸醫學系
	39	Metastatic prostatic adenocarcinoma	Human	耕莘醫院病理科
	39	Malignant canine peripheral nerve sheath tumors	Canine	臺灣大學獸醫學系
	39	Sarcomatoid carcinoma, lung	Human	羅東聖母醫院
	40	Vertebra, T12, laminectomy, metastatic adenoid cystic carcinoma	Human	彰化基督教醫院
	40	rhabdomyosarcoma	Canine	臺灣大學獸醫學系
	40	Fetal rhabdomyosarcoma	SD Rat	中興大學獸醫學系
	40	Adenocarcinoma, metastatic, iris, eye	Human	高雄醫學大學
	40	Axillary lymph node metastasis from an occult breast cancer	Human	羅東博愛醫院
	40	Hepatocellular carcinoma	Human	國軍桃園總醫院
	40	Feline diffuse iris melanoma	Feline	中興大學獸醫學系
	40	Metastatic malignant melanoma in the brain and inguinal lymph node	Human	花蓮慈濟醫院病理科
	41	Tonsil Angiosarcoma	Human	羅東博愛醫院
	41	Malignant mixed mullerian tumor	Human	耕莘醫院病理科
	41	Renal cell tumor	Rat	中興大學獸醫學系
	41	Multiple Myeloma	Human	花蓮慈濟醫院病理科
	41	Myopericytoma	Human	新光吳火獅紀念醫院
	41	Extramedullary plasmacytoma with amyloidosis	Canine	臺灣大學獸醫學系
	42	Metastatic follicular carcinoma	Human	羅東聖母醫院病理科
	42	Primitive neuroectodermal tumor (PNET), T-spine.	Human	羅東博愛醫院病理科
	42	Hemangioendothelioma of bone	Human	花蓮慈濟醫院病理科
	42	Malignant tumor with perivascular epithelioid differentiation, favored malignant PEComa	Human	彰化基督教醫院

	43	Mucin-producing cholangiocarcinoma	Human	基隆長庚醫院
	43	Cutaneous epitheliotropic lymphoma	Canine	臺灣大學獸醫專業學院
	43	Cholangiocarcinoma	Felis Lynx	臺灣大學獸醫專業學院
	43	Lymphoma	Canine	臺灣大學獸醫專業學院
	43	Solitary fibrous tumor	Human	彰化基督教醫院
	43	Multiple sarcoma	Canine	臺灣大學獸醫專業學院
	44	Malignant solitary fibrous tumor of pleura	Human	佛教慈濟綜合醫院暨慈濟大學
	44	Ectopic thymic carcinoma	Human	彰濱秀傳紀念醫院病理科
	44	Medullary carcinoma of the right lobe of thyroid	Human	彰化基督教醫院病理科
	44	Thyroid carcinosarcoma with cartilage and osteoid formation	Canine	臺灣大學獸醫專業學院
	44	Lymphocytic leukemia/lymphoma	Koala	臺灣大學獸醫專業學院
	45	Neuroendocrine carcinoma of liver	Human	佛教慈濟綜合醫院暨慈濟大學
	45	Parachordoma	Human	羅東博愛醫院病理科
	45	Carcinoma expleomorphic adenoma, submandibular gland	Human	天主教耕莘醫院病理科
	45	Melanoma, tongue	Canine	國立臺灣大學獸醫專業學院
	45	Renal cell carcinoma, papillary type	Canine	國立臺灣大學獸醫專業學院
323	46	Metastatic papillary serous cystadenocarcinoma, abdomen	Human	國軍桃園總醫院
324	46	Malignant gastrointestinal stromal tumor	Human	天主教耕莘醫院
329	47	Sclerosing stromal tumor	Human	彰化基督教醫院
330	47	Pheochromocytoma	Human	天主教耕莘醫院
334	48	Metastatic infiltrating ductal carcinoma, liver	Human	佛教慈濟綜合醫院
335	48	Adenoid cystic carcinoma, grade II, Rt breast	Human	天主教耕莘醫院
336	48	Malignant lymphoma, diffuse, large B-cell, right neck	Human	林新醫院

337	48	Pulmonary carcinoma, multicentric	Dog	國立臺灣大學 獸醫專業學院
338	48	Malignant melanoma, multiple organs metastasis	Rabbit	國立中興大學獸醫學院
340	49	Mucinous-producing urothelial-type adenocarcinoma of prostate	Human	天主教耕莘醫院
342	49	Plexiform fibromyxoma	Human	彰化基督教醫院
343	49	Malignant epithelioid trophoblastic tumor	Human	佛教慈濟綜合醫院
344	49	Epithelioid sarcoma	Human	林新醫院
346	49	Transmissible venereal tumor	Dog	國立臺灣大學獸醫專業學院
347	50	Ewing's sarcoma (PNET/ES tumor)	Human	天主教耕莘醫院病理科
348	50	Malignant peripheral nerve sheath tumor, epithelioid type	Human	林新醫院病理科
349	50	Low grade fibromyxoid sarcoma	Human	高雄醫學大學附設 中和紀念醫院病理科
351	50	Orbital embryonal rhabdomyosarcoma	Dog	Gifu University, Japan (岐 阜大学)
354	50	Granular cell tumor	Dog	國立臺灣大學 獸醫專業學院
356	50	Malignant neoplasm of unknown origin, cerebrum	Dog	國立臺灣大學 獸醫專業學院
357	51	Small cell Carcinoma, Urinary bladder	Human	天主教耕莘醫院
364	51	Perivascular epithelioid cell tumor, in favor of lymphangiomyomatosi	Human	高雄醫學大學附設中和 紀念醫院病理科
365	52	Angiosarcoma, skin (mastectomy)	Human	天主教耕莘醫院病理科
366	52	Rhabdomyoma (Purkinjeoma), heart	Swine	屏東縣家畜疾病防治所
368	52	Langerhans cell sarcoma, lung	Human	高雄醫學大學附設中和 紀念醫院病理科
369	52	Biliary cystadenocarcinoma, liver	Camel	國立屏東科技大學獸醫 教學醫院病理科
371	52	Malignant melanoma, nasal cavity	Human	羅東博愛醫院病理科
373	53	Malignant giant cell tumor of tendon sheath	Human	天主教耕莘醫院病理科

376	53	Malignant mesothelioma of tunica vaginalis	Golden hamster	中興大學獸醫病理生物學研究所
377	53	Perivascular Epithelioid Cell Tumor (PEComa) of the uterus	Human	彰化基督教醫院病理部
378	53	Medullary carcinoma	Human	高雄醫學大學病理部
389	55	Mantle cell lymphoma involving ascending colon, cecum, ileum, appendix and regional lymph nodes with hemorrhagic necrosis in the colon and leukemic change.	Human	奇美醫院病理部
390	55	Pulmonary Squamous Cells Carcinoma of a Canine	Dog	國立屏東科技大學獸醫教學醫院病理科
391	55	Squamous cell carcinoma, lymphoepithelioma-like type	Human	高醫附設醫院病理科
393	55	Malignant peripheral nerve sheath tumor (MPNST), subcutis, canine.	Dog	中興大學獸醫學系
394	55	Desmoplastic malignant melanoma (mimic malignant peripheral nerve sheath tumor)	Human	中山醫學大學醫學系病理學科暨附設醫院病理科
397	56	Atypical meningioma	Human	奇美醫院病理科
401	57	Lymph nodes, excision - Hodgkin's lymphoma, mixed cellularity	Human	天主教耕莘醫院
402	57	1. Leukemia, nonlymphoid, granulocytic, involving bone marrow, spleen, liver, heart, lungs, lymph nodes, kidney, hardian gland, duodenum and pancreas. 2. Pinworm infestation, moderate, large intestines. 3. Fibrosis, focal, myocardium.	Mouse	國家實驗動物中心
403	57	Non-secretory multiple myeloma with systemic amyloidosis	Human	佛教慈濟綜合醫院暨慈濟大學病理科
404	57	1. Hepatocellular adenocarcinoma, multifocal, severe, liver 2. Hemorrhage, moderate, acute, body cavity 3. Bumble foot, focal, mild, chronic, food pad 4. cyst and atherosclerosis, chronic, testis	Goose	國立中興大學獸醫病理生物學研究所
406	57	Castleman's disease	Human	羅東博愛醫院

407	58	Hepatoid adenocarcinoma of colon with multiple liver metastases	Human	羅東博愛醫院
408	58	Cardiac and pulmonary melanoma	Pig	國立中興大學獸醫病理生物學研究所
409	58	Double Tumors: (1) small cell carcinoma of lung (2) Hodgkin's lymphoma, mixed cellularity type. Acrokeratosis paraneoplastica	Human	佛教慈濟綜合醫院暨慈濟大學病理科
410	58	Von Hippel–Lindau disease	Human	奇美醫院病理部
411	58	Multiple neoplasia	Tiger	國立屏東科技大學獸醫教學醫院病理科
412	58	Hepatocellular carcinoma and multiple myeloma	Human	中山醫學大學醫學系病理學科暨附設醫院病理科
413	59	DEN plus AAF carcinogens induced hepatic tumor in male rats	Rat	中興大學獸醫病理生物學研究所
417	59	Alveolar soft part sarcoma	Human	高雄醫學大學附設中和紀念醫院病理科
418	60	Seminoma associated with supernumerary testicles	Human	羅東博愛醫院
422	61	Retinoblastoma in a baby girl	Human	彰化基督教醫院
423	61	Colloid goiter in a female Radiated tortoise ( <i>Astrochelys radiata</i> )	Tortoise	台灣大學獸醫專業學院分子暨比較病理生物學研究所
424	61	Lymphoepithelial carcinoma in a women	Human	羅東博愛醫院
425	61	Histiocytic sarcoma in a SJL/J mouse	mouse	國家實驗動物中心
428	62	Maligant lymphoma, diffuse large B-cell (DLBCL) in a women	Human	國軍桃園總醫院病理檢驗部
429	62	Immune reconstitution inflammatory syndrome (IRIS)-associated Kaposi's sarcoma in a man	Human	花蓮慈濟醫院
430	62	Mammary adenocarcinoma, tubular form in a female feline	Cat	中興大學獸醫病理生物學研究所
433	62	Rhabdomyosarcoma, retroperitoneal cavity in a female mouse	Mouse	國家實驗動物中心

434	62	Malignant pheochromocytoma with pleural metastasis in a man	Human	天主教聖馬爾定醫院病理科
436	63	Primary non-Hodgkins lymphoma of terminal ileum	Human	國軍桃園總醫院病理檢驗部
438	63	Ectopic thyroid gland tumor	Beagle	台灣大學獸醫專業學院分子暨比較病理生物學研究所
440	63	Hepatocellular cell carcinoma Squamous cell carcinoma	Human	天主教聖馬爾定醫院口腔顎面外科
442	64	Large B cell lymphoma in a man	Human	羅東博愛醫院
444	64	Olfactory neuroblastoma in a female cat	Cat	台灣大學獸醫專業學院分子暨比較病理生物學研究所
445	64	Oligodendroglioma in a man	Human	國軍桃園總醫院病理檢驗部
447	64	Ameloblastoma of mandible in a man	Human	天主教聖馬爾定醫院口腔顎面外科
448	65	EBV associated extranodal NK / T-cell lymphoma, nasal type	Human	羅東博愛醫院
451	65	Mouse, subcutaneously mass – exocrine pancreatic adenocarcinoma, AsPC-1 cells, human origin, heterotopical model	Mouse	國家實驗動物中心
452	65	1. Extranodal NK/T-cell lymphoma, nasal type 2. 2. Regional lymph nodes and omentum are involved.	Human	台中醫院
457	66	Metastatic squamous cell carcinoma (SCC)	Horse	台灣大學獸醫專業學院分子暨比較病理生物學研究所
459	66	Squamous intraepithelial lesion (SIL)	Human	高雄醫學大學附設醫院病理部
460	66	Subcutaneous liposarcoma and uterine endometrial stromal sarcoma	African hedgehog	中興大學獸醫病理生物學研究所
463	67	Splenic undifferentiated pleomorphic sarcoma in a Djungarian hamster	Hamster	國立中興大學獸醫教學醫院鳥禽與野生動物科

465	67	Plasmacytoid urothelial carcinoma	Dog	國立台灣大學獸醫專業學院分子暨比較病理生物學研究所
467	67	1.Poorly differentiated hemangiosarcoma in face 2.Squamous cell carcinoma in ear	Civet	農委會特有生物研究保育中心
473	68	Simple mammary gland adenocarcinoma	Guinea pig	中興大學獸醫病理生物學研究所
476	69	Mediastinum dedifferentiated liposarcoma	Human	羅東博愛醫院
477	69	Uterus adenosarcoma	Hedgehog	中興大學獸醫病理生物學研究所
478	69	Primary pericardial mesothelioma in a woman	Human	佛教慈濟綜合醫院暨慈濟大學病理科
479	69	Pulmonary solid adenocarcinoma	Dog	國立台灣大學獸醫專業學院分子暨比較病理生物學研究所
481	70	Paraganglioma of liver	Human	佛教慈濟綜合醫院暨慈濟大學病理科
482	70	Adenocarcinoma, transmural, recurrent, with desmoplasia and metastasis to regional lymph node, jejunum and ileocecal junction Mast cell tumor, moderately-differentiated, multiple, jejunal and ileocecal masses	Cat	國立台灣大學獸醫專業學院分子暨比較病理生物學研究所
483	70	Solitary fibrous tumor of pelvis	Human	羅東博愛醫院病理科
484	70	Chronic lymphocytic leukemia, with systemic dissemination, bone marrow, intestine, generalized lymph node, spleen, liver, kidney and lung	Dog	國立台灣大學獸醫專業學院分子暨比較病理生物學研究所
485	70	Intestine, large, colon, ascending, -- - Carcinoma, poorly differentiated (pT4aN1b). (ADVANCED) 2. Stomach, distal, --- Adenocarcinoma, moderately differentiated (pT1bNO) (EARLY) (Synchronous cancer)	Human	秀傳醫療社團法人秀傳紀念醫院
487	70	Angiomyolipoma of the liver	Human	衛生福利部臺中醫院病理科

490	71	Xp11.2 translocation renal cell carcinoma	Human	羅東博愛醫院病理科
491	71	Anaplastic renal cell carcinoma	Djungarian hamster	國立中興大學獸醫病理生物學研究所
493	71	Mucin-producing urothelial-type adenocarcinoma of the prostate (MPUAP)	Human	天主教耕莘醫療財團法人耕莘醫院
494	71	Left paratesticular dedifferentiated liposarcoma with leiomyomatous differentiation.	Human	天主教耕莘醫療財團法人耕莘醫院
495	71	Renal nephroblastoma, blastema-predominant with metastasis to gingiva, renal mass	Dog	國立台灣大學獸醫專業學院分子暨比較病理生物學研究所
496	71	Testis, left: Malignant mixed germ cell–sex cord stromal tumor (spermatocytic germinoma and Sertoli cell tumor), with angiolymphatic invasion. Testis, right: Germ cell atrophy, multifocal, moderate.	Dog	長青動物醫院
499	72	Brain, frontal lobe, Lt., Malignant melanoma, consistent with metastatic cutaneous malignant melanoma.	Human	國軍桃園總醫院
501	72	Anaplastic carcinoma thyroid (spindle cell type)	Human	天主教耕莘醫院
502	72	Primitive neuroectodermal tumor (PNET), most likely originating from ureter, with metastasis to liver and involvements of urinary bladder, uterus and left adrenal gland	Formosan serow	臺灣大學獸醫學系
503	72	Metastatic follicular carcinoma	Human	衛生福利部台中醫院
506	73	Type B1 thymoma	Human	天主教耕莘醫院
508	73	Metastatic melanoma	Human	秀傳醫療社團法人秀傳紀念醫院
511	74	Crystal storing histiocytosis associated with multiple myeloma.	Human	羅東博愛醫院病理科
512	74	Myeloid sarcoma	Human	佛教慈濟綜合醫院暨慈濟大學病理科

513	74	Neurolymphomatosis (neurotropic lymphoma), B cell, right musculocutaneous nerve	Cat	國立台灣大學獸醫專業學院分子暨比較病理生物學研究所
514	74	Primary diffuse large B-cell lymphoma (activated B- cell type) of right testis, Stage IE at least	Human	國防醫學院三軍總醫院病理部
515	74	Thymoma, most likely, mediastinal mass	Dolphin	國立台灣大學獸醫專業學院分子暨比較病理生物學研究所
516	74	Extranodal marginal zone lymphoma of mucosa- associated lymphoid tissue (MALT lymphoma)	Human	秀傳醫療社團法人秀傳紀念醫院
517	74	Angioliposarcoma in a Cockatiel	Dog	國立中興大學獸醫病理生物學研究所
520	74	Intravascular diffuse large B cell lymphoma.	Human	國防醫學院三軍總醫院病理部
521	75	Primary anorectal malignant melanoma (PAMM)	Human	國軍桃園總醫院
523	75	Pancreatic panniculitis associated with acinar cell carcinoma	Human	羅東博愛醫院
524	75	Anaplastic large cell lymphoma (ALCL), ALK-negative	Human	秀傳醫療社團法人秀傳紀念醫院
525	75	Canine cutaneous epitheliotropic T-cell lymphoma with the involvement of left axillary lymph node	Dog	國立台灣大學獸醫專業學院分子暨比較病理生物學研究所
528	75	Basal cell carcinoma with sebaceous differentiation	Human	天主教耕莘醫院
529	76	Tongue, Schwannoma	Human	國軍桃園總醫院
530	76	Amyloid-producing odontogenic tumor	Dog	國立台灣大學獸醫專業學院分子暨比較病理生物學研究所
531	76	Embryonal rhabdomyosarcoma	Human	花蓮慈濟大學暨慈濟醫院病理科
532	76	Adenocarcinoma, suspected mammary gland tumor metastasis, mass from iris and partially ciliary bodies of right eye	Cat	國立台灣大學獸醫專業學院分子暨比較病理生物學研究所
533	76	Kaposi's sarcoma, parotid gland.	Human	羅東博愛醫院病理科

537	77	Primary appendiceal mantle cell lymphoma (MCL), B-cell type, caused acute suppurate appendicitis.	Human	國軍桃園總醫院
538	77	Follicular lymphoma in thyroid of nodular goiter.	Human	羅東博愛醫院
544	78	Ectopic parathyroid adenoma, anterior mediastinum.	Human	羅東博愛醫院
547	79	Glucagonoma, pancreas	Human	羅東博愛醫院
548	79	Neuroendocrine carcinoma, skin	Cat	國立台灣大學獸醫專業學院分子暨比較病理生物學研究所
549	79	Paraganglioma of urinary bladder	Human	花蓮慈濟大學暨慈濟醫院病理科
550	79	Hepatic carcinoid (Neuroendocrine carcinoma), liver	Cat	霍普獸醫病理診斷中心
551	79	Strumal carcinoid tumor of the ovary (SCTO) arising from mature cystic teratoma	Human	國軍桃園總醫院
552	79	Pheochromocytoma and Associated Cardiomyopathy	Meerkat ( <i>Suricata suricatta</i> )	國立中興大學獸醫病理生物學研究所
553	79	Adrenal, left, laparoscopic adrenalectomy --- Pheochromocytoma, malignant. Staging (pT2)	Human	天主教耕莘醫院
554	80	Carcinoma, sweat gland, with metastases to the lung and cerebrum, the left forelimb 3 <sup>rd</sup> and 4 <sup>th</sup> digits, skin	North American cougar ( <i>Puma concolor couguar</i> )	國立台灣大學獸醫專業學院分子暨比較病理生物學研究所
555	80	Angiosarcoma, scalp	Human	羅東博愛醫院
559	80	Sebaceous adenoma	Human	天主教耕莘醫院
560	81	Glioblastoma	Human	天主教耕莘醫院
561	81	Transmissible venereal tumor (TVT)	Dog	霍普獸醫病理診斷中心
562	81	Metastatic small cell carcinoma. Right axillary lymph node.	Human	羅東博愛醫院
563	81	Presumptive chronic myelomonocytic leukemia	Central bearded dragon ( <i>Pogona vitticeps</i> )	國立中興大學獸醫病理生物學研究所

564	82	Epithelioid gastrointestinal stromal tumor (GIST)	Human	羅東博愛醫院
566	82	Intestine, small bowel, segmental resection,---Primitive neuroectodermal tumor(PNET) / Extraskelatal Ewing sarcoma Lung, needle biopsy,Small blue cell tumor, compatible with primitive neuroectodermal tumor (PNET) metastasis	Human	衛生福利部台中醫院病理科
567	82	Gastric carcinoma, whit lymphatic infiltration, stomach, dog Lymph node metastasis from gastric carcinoma, dog	Dog	國立台灣大學獸醫專業學院分子暨比較病理生物學研究所
568	82	Descending colon, adenocarcinoma, grade 2; C/W FAP syndrome associated advanced CRC.	Human	國軍桃園總醫院
569	83	Gastric Schwannoma	Human	羅東博愛醫院
571	83	Feline inductive odontogenic tumor (FIOT), cat	Cat	霍普獸醫病理診斷中心
573	83	Multiple primary malignant (MPM) (Synchronous / metachronous? or metastatic) non-Hodgkin lymphomas (DLBCLs) of the jejunum with JJ intussusception with mesenteric lymph nodal and pleural involvement.	Human	國軍桃園總醫院
574	84	Testicular carcinoid	Human	羅東博愛醫院
577	84	Testis, Lt., Primary diffuse large B-cell lymphoma (DLBCL) / Primary testicular (DLBCL)-PT-DLBCL	Human	國軍桃園總醫院
579	85	Mixed germ cell tumor (seminoma and mature teratoma)	Human	三軍總醫院
580	85	Renal cell carcinoma	Dog	國立台灣大學獸醫專業學院分子暨比較病理生物學研究所
581	85	Leiomyoma with ovarian sex cord-like elements	Human	羅東博愛醫院
582	85	Endometrial stromal sarcoma and endometrial polyp, uterus	Hedgehog	霍普獸醫病理診斷中心
583	85	Uterine papillary serous carcinoma, metastatic	Human	國軍桃園總醫院

585	86	T-cell rich large B-cell lymphoma (TCRLBCL)	Cat	國立台灣大學獸醫專業學院分子暨比較病理生物學研究所
586	86	Epithelioid sarcoma, right hand.	Human	羅東博愛醫院
587	86	Precursor T-cell lymphoblastic lymphoma (Pre-T LBL, thymic lymphoma)	Mouse	國立中興大學獸醫病理生物學研究所
588	86	Soft tissue, right hypochondriac (flank), excision: Hepatocellular cell carcinoma (HCC), metastatic.	Human	國軍桃園總醫院
590	87	Glandular cardiac myxoma, heart.	Human	羅東博愛醫院
594	88	Malignant pleural mesothelioma	Human	國軍桃園總醫院
597	88	Bronchial carcinoma	Dog	國立台灣大學獸醫專業學院分子暨比較病理生物學研究所
598	89	Warthin-like mucoepidermoid carcinom	Human	羅東博愛醫院
599	89	Gastric carcinoma	Dog	長青動物醫院
600	89	Primary appendiceal signet-ring cell carcinoma	Human	國軍桃園總醫院
609	91	Small cell carcinoma, urinary bladder	Human	羅東博愛醫院
610	91	squamous cell carcinoma and urothelial carcinoma in a dog	Dog	國立中興大學獸醫病理生物學研究所
611	91	Primary testicular dedifferentiated liposarcoma	Human	國軍桃園總醫院
612	91	Renal hemangiosarcoma	Dog	霍普獸醫病理診斷中心
613	91	Papillary renal neoplasm with reverse polarity	Human	三軍總醫院
614	91	Nephroblastoma	Feline	國立台灣大學獸醫專業學院分子暨比較病理生物學研究所
616	92	Choriocarcinoma	Human	國軍桃園總醫院
617	92	Uterine adenocarcinoma	Feline	霍普獸醫病理診斷中心
618	92	Adenoid basal carcinoma	Human	羅東博愛醫院
619	93	Hepatoid carcinoma of pancreas	Human	羅東博愛醫院
620	93	Metastatic islet cell carcinoma	Dog	霍普獸醫病理診斷中心
621	93	Thyroid carcinoma	Feline	長青動物醫院
622	93	Medullary thyroid cancer	Human	天主教耕莘醫療財團法人耕莘醫院

623	93	Anaplastic thyroid carcinoma with rhabdoid phenotype	Dog	國立台灣大學獸醫專業學院分子暨比較病理生物學研究所
624	94	Extraskelatal Osteosarcoma	Dog	霍普獸醫病理診斷中心
625	94	Synovial sarcoma	Human	臺北榮民總醫院桃園分院
626	94	Chondroblastic osteosarcoma	Cat	國立台灣大學獸醫專業學院分子暨比較病理生物學研究所
628	94	Unclassified pleomorphic sarcoma with myxoid stroma Myxofibrosarcoma	Human	衛生福利部臺中醫院
629	95	Medulloblastoma	Mouse	國立台灣大學醫學院實驗動物中心
630	95	Atypical Meningioma	Human	羅東博愛醫院

## 細菌

病例編號	會議場次	診 斷	動物別	提供單位
	1	Tuberculosis	Monkey	臺灣大學獸醫學系
7.	1	Tuberculosis	Human	省立新竹醫院
12.	2	H. pylori-induced gastritis	Human	台北病理中心
13.	2	Pseudomembranous colitis	Human	省立新竹醫院
26.	3	Swine salmonellosis	Pig	中興大學獸醫學系
27.	3	Vegetative valvular endocarditis	Pig	台灣養豬科學研究所
28.	4	Nocardiosis	Human	台灣省立新竹醫院
29.	4	Nocardiosis	Largemouth bass	屏東縣家畜疾病防治所
32.	4	Actinomycosis	Human	台灣省立豐原醫院
33.	4	Tuberculosis	Human	苗栗頭份為恭紀念醫院
53.	7	Intracavitary aspergilloma and cavitory tuberculosis, lung.	Human	羅東聖母醫院
54.	7	Fibrocalcified pulmonary TB, left Apex. Mixed actinomycosis and aspergillosis lung infection with abscess DM, NIDDM.	Human	林口長庚紀念醫院
58.	7	Tuberculous enteritis with perforation	Human	佛教慈濟綜合醫院

61.	8	Spirochetosis	Goose	國立嘉義農專獸醫科
63.	8	Proliferative enteritis ( <i>Lawsonia intracellularis</i> infection)	Porcine	屏東縣家畜疾病防治所
68.	9	Liver abscess ( <i>Klebsillae pneumoniae</i> )	Human	台北醫學院
	10	Xanthogranulomatous inflammation with nephrolithiasis, kidney, right. Ureteral stone, right.	Human	羅東聖母醫院
	10	Emphysematous pyelonephritis	Human	彰化基督教醫院
89.	10	Severe visceral gout due to kidney damaged Infectious serositis	Goose	中興大學獸醫學系
	13	Listeric encephalitis	Lamb	屏東縣家畜疾病防治所
	13	Tuberculous meningitis	Human	羅東聖母醫院
	16	Swine salmonellosis with meningitis	Swine	中興大學獸醫學系
	16	Meningoencephalitis, fibrinopurulent and lymphocytic, diffuse, subacute, moderate, cerebrum, cerebellum and brain stem, caused by <i>Streptococcus</i> spp. infection	Swine	國家實驗動物繁殖及研究中心
	17	Coliform septicemia of newborn calf	Calf	屏東縣家畜疾病防治所
	20	Porcine polyserositis and arthritis (Glasser's disease)	Pig	中興大學獸醫學院
	20	Mycotic aneurysm of jejunal artery secondary to infective endocarditis	Human	慈濟醫院病理科
	21	Chronic nephritis caused by <i>Leptospira</i> spp	Pig	中興大學獸醫學院
	21	Ureteropyelitis and cystitis	Pig	中國化學製藥公司
	36	Pulmonary actinomycosis.	Human	耕莘醫院病理科
	37	Tuberculous peritonitis	Human	彰化基督教醫院病理科
	38	Septicemic salmonellosis	Piglet	屏東科技大學獸醫系
	38	Leptospirosis	Human	慈濟醫院病理科
	39	Mycobacteriosis	Soft turtles	屏東科技大學獸醫系
	42	<i>Staphylococcus</i> spp. infection	Formosa Macaque	中興大學獸醫病理學研究所
	42	Leptospirosis	Dog	台灣大學獸醫學系

	43	Leptospirosis	Human	花蓮慈濟醫院
	43	Cryptococcus and Tuberculosis	Human	彰濱秀傳紀念醫院
319	46	Placentitis, <i>Coxiella burnetii</i>	Goat	台灣動物科技研究所
321	46	Pneumonia, <i>Burkholderia pseudomallei</i>	Goat	屏東縣家畜疾病防治所
339	48	Mycoplasmosis	Rat	國家實驗動物中心
352	50	<i>Chromobacterium violaceum</i> Septicemia	Gibbon	Bogor Agricultural University, Indonesia
353	50	Salmonellosis	Pig	國立中興大學 獸醫學院
367	52	Melioidosis ( <i>Burkholderia pseudomallei</i> ), lung	Human	花蓮慈濟醫院
370	52	Suppurative bronchopneumonia ( <i>Bordetellae trematum</i> ) with <i>Trichosomoides crassicauda</i> infestation	Rat	國立中興大學獸醫學院
374	53	Pulmonary coccidiomycosis	Human	彰化基督教醫院
375	53	Paratuberculosis in <i>Macaca cyclopis</i>	<i>Macaca cyclopis</i>	國立屏東科技大學獸醫學院
379	53	Bovine Johne's disease (BJD) or paratuberculosis of cattle	Dairy cow	屏東縣家畜疾病防治所
380	53	NTB, <i>Mycobacterium abscessus</i>	Human	佛教慈濟綜合醫院暨慈濟大學病理科
382	54	Leptospirosis	Pig	國立屏東科技大學獸醫學院
384	54	<i>Neisseria</i> Infected Pneumonitis	Cat	中興大學獸醫學系
385	54	<i>Mycobacteria avian complex</i> dacryocystitis	Human	花蓮佛教慈濟綜合醫院
387	54	Swine Erysipelas	Pig	屏東縣家畜疾病防治所
396	56	Suppurative meningitis caused by <i>Streptococcus</i> spp in pigs	Pig	國立中興大學獸醫病理生物學研究所
399	56	Listeric encephalitis in dairy goats	Goat	屏東縣家畜疾病防治所
435	63	Tuberculosis	Human	花蓮佛教慈濟綜合醫院
438	63	Porcine proliferative enteritis (PPE)	Pig	國立中興大學獸醫病理生物學研究所
446	64	Actinomycosis (lumpy jaw) in a dairy cattle	Cattle	國立中興大學獸醫病理生物學研究所
450	65	<i>Mycobacterium avium</i> infection	Human	花蓮佛教慈濟綜合醫院
464	67	Ulcerative actinomycotic squamous plaque with focal (basal) severe	Human	嘉義聖馬爾定醫院

		dysplasia, mucosa, gingivobuccal junction, right lower gingiva in a man		
469	68	Scrub typhus	Human	佛教慈濟綜合醫院暨慈濟大學
489	71	Malakoplakia due to Escherichia coli infection, left testis	Human	佛教慈濟綜合醫院暨慈濟大學
492	71	Cystitis, bilateral ureteritis and pyelonephritis, hemorrhagic, necrotic, purulent, severe, diffuse, chronic progressive, urinary bladder, ureters and kidneys	Dog	國立中興大學獸醫病理生物學研究所
522	75	Secondary syphilis	Human	佛教慈濟綜合醫院暨慈濟大學
526	75	Dermatophilosis caused by <i>Austwickia chelonae</i> (basonym <i>Dermatophilus chelonae</i> ) in a free-ranging wild Taiwanese japalure	Taiwanese japalure	台灣大學獸醫學系
584	85	<i>Salmonella</i> Enteritidis Infection in Chicks	Chicks	國立中興大學獸醫病理生物學研究所

## 病毒

病例編號	會議場次	診 斷	動物別	提供單位
21.	3	Newcastle disease	Chicken	台灣大學獸醫學系
22.	3	Herpesvirus infection	Goldfish	台灣大學獸醫學系
30.	4	Demyelinating canine distemper encephalitis	Dog	台灣養豬科學研究所
31.	4	Adenovirus infection	Malayan sun bears	台灣大學獸醫學系
50.	7	Porcine cytomegalovirus infection	Piglet	台灣省家畜衛生試驗所
55.	7	Infectious laryngo-tracheitis (Herpesvirus infection)	Broilers	國立屏東技術學院獸醫學系
69.	9	Pseudorabies (Herpesvirus infection)	Pig	台灣養豬科學研究所
78.	10	Marek's disease in native chicken	Chicken	屏東縣家畜疾病防治所
92.	11	Foot- and- mouth disease (FMD)	Pig	屏東縣家畜疾病防治所
101.	11	Swine pox	Pig	屏東科技大學獸醫學系
	13	Pseudorabies	Piglet	國立屏東科技大學
	13	Avian encephalomyelitis	Chicken	國立中興大學

	15	Contagious pustular dermatitis	Goat	屏東縣&台東縣家畜疾病防治所
	15	Fowl pox and Marek's disease	Chicken	中興大學獸醫學系
	16	Japanese encephalitis	Human	花蓮佛教慈濟綜合醫院
	17	Viral encephalitis, polymavirus infection	Lory	美國紐約動物醫學中心
	17	1. Aspergillus spp. encephalitis and myocarditis 2. Demyelinating canine distemper encephalitis	Dog	台灣大學獸醫學系
	19	Enterovirus 71 infection	Human	彰化基督教醫院
	19	Ebola virus infection	African Green monkey	行政院國家科學委員會實驗動物中心
	19	Rabies	Longhorn Steer	台灣大學獸醫學系
	20	Parvoviral myocarditis	Goose	屏東科技大學獸醫學系
	28	SARS	Human	台大醫院病理科
	28	TGE virus	swine	臺灣動物科技研究所
	28	Feline infectious peritonitis(FIP)	Feline	台灣大學獸醫學系
	30	Chicken Infectious Anemia (CIA)	Layer	屏東防治所
219	31	1. Lymph node:Lymphdenitis, with lymphocytic depletion and intrahistiocytic basophilic cytoplasmic inclusion bodies. Etiology consistent with Porcine Circovirus (PCV)infection. 2. Lung: Bronchointerstitial pneumonia, moderate, lymphoplasmacytic, subacute.	Pig	臺灣動物科技研究所
220	31	Cytomegalovirus colitis	Human	彰化基督教醫院病理科
221	31	Canine distemper virus Canine adenovirus type II co-infection	Canine	國家實驗動物繁殖及研究中心
223	32	1. Skin, mucocutaneous junction (lip): Cheilitis, subacute, diffuse, severe, with epidermal pustules, ballooning degeneration, proliferation, and eosinophilic intracytoplasmic inclusion bodies, Saanen goat.	Goat	台灣動物科技研究所

		2. Haired skin: Dermatitis, proliferative, lymphoplasmacytic, subacute, diffuse, sever, with marked epidermal pustules, ballooning degeneration, acanthosis, hyperkeratosis, and eosinophilic intracytoplasmic inclusion bodies.		
238	35	Hydranencephaly	Cattle	國立屏東科技大學獸醫學系
248	36	Porcine Cytomegalovirus (PCMV) infection	Swine	國立屏東科技大學獸醫學系
250	36	Porcine respiratory disease complex (PRDC) and polyserositis, caused by co-infection with pseudorabies (PR) virus, porcine circovirus type 2 (PCV 2), porcine reproductive and respiratory syndrome (PRRS) virus and Salmonella typhimurium.	Swine	屏東縣家畜疾病防所
255	37	Vaccine-induced canine distemper	gray foxes	國立台灣大學獸醫學系
265	39	Bronchointerstitial pneumonia (PCV II infection)	Swine	台灣大學獸醫學系
295	42	Feline infectious peritonitis (FIP)	Cat	中興大學獸醫病理所
362	51	Canine distemper virus infection combined pulmonary dirofilariasis	Dog	國家實驗研究院
381	54	Polyomavirus infection of urinary tract	Human	羅東博愛醫院
405	57	Porcine circovirus-associated lymphadenitis	Swine	國立屏東科技大學獸醫教學醫院病理科
414	59	Rabies virus infection	Human	佛教慈濟綜合醫院暨慈濟大學病理科
415	59	Canine distemper virus infection	Dog	台灣大學獸醫專業學院分子暨比較病理生物學研究所
420	60	Respiratory syncytial virus infection	Human	佛教慈濟綜合醫院暨慈濟大學病理科
421	60	Porcine epidemic diarrhea (PED)	Piglet	國立中興大學獸醫病理生物學研究所

455	66	Goose Haemorrhagic Polyomaviruses (GHPV)	Goose	農委會家畜衛生試驗所
456	66	HPV associated small cell neuroendocrine carcinoma of uterine cervix	Human	羅東博愛醫院病理科
458	66	Roventricular dilatation disease (PDD)	Cacatuini	國立中興大學獸醫病理生物學研究所
468	68	Avian poxvirus	Eagle	國立中興大學獸醫病理生物學研究所
472	68	Suspected viral infection with secondary aspergillosis	Parrot	國立中興大學獸醫病理生物學研究所
510	73	Porcine reproductive and respiratory syndrome (PRRS)	pig	國立中興大學獸醫病理生物學研究所
542	78	Feline infectious peritonitis (FIP)	Cat	國立台灣大學獸醫專業學院分子暨比較病理生物學研究所
543	78	Porcine epidemic diarrhea (PED)	Pig	國立中興大學獸醫系
556	80	Cutaneous pigeonpox	Pigeon	國立中興大學獸醫系
596	88	Porcine respiratory disease complex	Pig	國立中興大學獸醫系
602	89	Bovine viral diarrhea-mucosal disease	Cattle	國立中興大學獸醫系

### 黴菌（含藻類）

病例編號	會議場次	診 斷	動物別	提供單位
23.	3	Chromomycosis	Human	台北病理中心
47.	7	Lung: metastatic carcinoma associated with cryptococcal infection. Liver: metastatic carcinoma. Adrenal gland, right: carcinoma (primary)	Human	三軍總醫院
48.	7	Adiaspiromycosis	Wild rodents	台灣大學獸醫學系
52.	7	Aspergillosis	Goslings	屏東縣家畜疾病防治所
53.	7	Intracavitary aspergilloma and cavitory tuberculosis, lung.	Human	羅東聖母醫院
54.	7	Fibrocalcified pulmonary TB, left Apex.	Human	林口長庚紀念醫院

		Mixed actinomycosis and aspergillosis lung infection with abscess DM, NIDDM.		
105.	13	Mucormycosis Diabetes mellitus	Human	花蓮佛教慈濟綜合醫院
	15	Eumycotic mycetoma	Human	花蓮佛教慈濟綜合醫院
	17	1. Aspergillus spp. encephalitis and myocarditis 2. Demyelinating canine distemper encephalitis	Dog	台灣大學獸醫學系
	43	Systemic Candidiasis	Tortoise	中興大學獸醫學院
	45	Alfatoxicosis in dogs	Canine	國立臺灣大學 獸醫專業學院
322	46	Allergic fungal sinusitis	Human	羅東博愛醫院
326	46	Meningoencephalitis, Aspergillus flavus	Cat	國立臺灣大學 獸醫專業學院
331	47	Histoplasmosis	Human	花蓮慈濟醫院病理科
332	47	Pulmonary Blastomycosis	Rat	中興大學獸醫學院
355	50	Encephalitozoonosis	Rabbit	國立中興大學獸醫學院
356	50	Eosinophilic granuloma with fungal infection, Skin	Cat	國立臺灣大學獸醫專業學院
386	54	Dermatophytic pseudomycetoma	Cat	台灣動物科技研究所
395	56	Systemic Cryptococcus neoformans infection in a Golden Retriever	Dog	國立台灣大學分子暨比較病理生物學研究所
441	63	Protothecosis	Dog	國家實驗動物繁殖及研究中心
449	65	Porcine epidemic diarrhea (PED)	Pig	國立台灣大學分子暨比較病理生物學研究所
519	75	Chicken infectious anemia in chicken	Chicken	國立中興大學獸醫學院
536	77	Skin infection of Orf virus	Human	佛教慈濟醫療財團法人 花蓮慈濟醫院
545	78	Candida endocarditis	Human	佛教慈濟醫療財團法人 花蓮慈濟醫院
570	83	Protothecosis	Dog	立眾生技有限公司
595	88	Cryptococcosis	Cat	霍普獸醫病理診斷中心

## 寄生蟲 (含原蟲)

病例編號	會議場次	診 斷	動物別	提供單位
14.	2	Dirofilariasis	Dog	台灣省家畜衛生試驗所
15.	2	Pulmonary dirofilariasis	Human	台北榮民總醫院
20.	3	Sparganosis	Human	台北榮民總醫院
46.	7	Feline dirofilariasis	Cat	美國紐約動物醫學中心
49.	7	Echinococcosis	Human	台北榮民總醫院
60.	8	Intestinal capillariasis	Human	台北馬偕醫院
64.	8	Adenocarcinoma of sigmoid colon Old schistosomiasis of rectum	Human	省立新竹醫院
66.	8	Echinococcosis	Chapman's zebra	台灣大學獸醫學系
67.	9	Hepatic ascariasis and cholelithiasis	Human	彰化基督教醫院
	13	Parasitic meningoencephalitis, caused by Toxocara canis larvae migration	Dog	臺灣養豬科學研究所
	17	Disseminated strongyloidiasis	Human	花蓮佛教慈濟綜合醫院
	17	Eosinophilic meningitis caused by Angiostrongylus cantonensis	Human	台北榮民總醫院 病理檢驗部
156	19	Parastrongylus cantonensis infection	Formosan gem-faced civet	中興大學獸醫學院
	19	Capillaria hepatica, Angiostrongylus cantonensis	Norway Rat	行政院農業委員會 農業藥物毒物試驗所
	29	Colnorchiasis	Human	高雄醫學院附設醫院
	29	Trichuriasis	Human	彰化基督教醫院
	29	Psoroptes cuniculi infection (Ear mite)	Rabbit	農業藥物毒物試驗所
	29	Pulmonary dirofilariasis	Human	和信治癌中心醫院
	29	Capillaries philippinesis	Human	和信治癌中心醫院
	29	Adenocarcinoma with schistosomiasis	Human	花蓮佛教慈濟綜合醫院
	41	Etiology-consistent with Spironucleus (Hexamita) muris	Rat	國家實驗動物繁殖及研究中心
327	46	Dermatitis, mange infestation	Serow	中興大學獸醫學院

328	46	Trichosomoides crassicauda, urinary bladder	Rat	國家實驗動物中心
362	51	Canine distemper virus infection combined pulmonary dirofilariasis	Dog	國家實驗研究院
370	52	Suppurative bronchopneumonia (Bordetellae trematum) with Trichosomoides crassicauda infestation	Rat	國立中興大學獸醫學院
416	59	Toxoplasmosis in a finless porpoise	Finless porpoise	國立屏東科技大學獸醫教學醫院病理科
	63	Liver milk spots in pig	Pig	中興大學獸醫病理生物學研究所
453	66	Liver fluke infection	Buffalo	中興大學獸醫病理生物學研究所
471	68	Haemosporidian parasite infection	pigeon	國立台灣大學分子暨比較病理生物學研究所
540	77	Systemic toxoplasmosis	Ring-tailed lemur	國立台灣大學分子暨比較病理生物學研究所
4.	1	Cryptosporidiosis	Goat	台灣養豬科學研究所
15.	2	Amoebiasis	Lemur fulvus	台灣養豬科學研究所
16.	2	Toxoplasmosis	Squirrel	台灣養豬科學研究所
17.	2	Toxoplasmosis	Pig	屏東技術學院 獸醫學系
51.	7	Pneumocystis carinii pneumonia	Human	台北病理中心
57.	8	Cecal coccidiosis	Chicken	中興大學獸醫學系
65.	8	Cryptosporidiosis	Carprine	台灣養豬科學研究所
211	30	Avian malaria, African black-footed penguin	Avian	臺灣動物科技研究所
242	35	Neosporosis	Cow	國立屏東科技大學 獸醫學系
263	38	Intestinal amebiasis	Human	彰化基督教醫院病理科
320	46	Cutaneous leishmaniasis	Human	佛教慈濟綜合醫院
325	46	Myocarditis/encephalitis, Toxoplasma gondii	Wallaby	國立臺灣大學獸醫專業學院
443	65	Brain toxoplasmosis in a man	Human	佛教慈濟綜合醫院病理科
462	67	Toxoplasmosis	Human	佛教慈濟綜合醫院病理科
470	68	Leucocytozoonosis	chickens	中興大學獸醫病理生物學研究所

572	83	Systemic Coccidiosis	ducks	中興大學獸醫病理生物學研究所
-----	----	----------------------	-------	----------------

### 立克次體

病例編號	會議場次	診 斷	動物別	提供單位
229	32	Necrotizing inflammation due to scrub typhus	Human	佛教慈濟醫院病理科
251	36	Scrub typhus with diffuse alveolar damage in bilateral lungs.	Human	佛教慈濟醫院病理科

### 其他

病例編號	會議場次	診 斷	動物別	提供單位
216	30	Cytophagic histiocytic panniculitis with terminal hemophagocytic syndrome	Human	佛教慈濟綜合醫院病理科
359	51	Eosinophilic granuloma with fungal infection, Skin	Cat	國立臺灣大學獸醫專業學院
360	51	Septa panniculitis with lymphocytic vasculitis	Human	慈濟綜合醫院暨慈濟大學
9.	2	Perinephric pseudocyst	Cat	台灣大學獸醫學系
10.	2	Choledochocyst	Human	長庚紀念醫院
11.	2	Bile duct ligation	Rat	中興大學獸醫學系
37.	4	Myositis ossificans	Human	台北醫學院
75.	9	Acute yellow phosphorus intoxication	Rabbits	中興大學獸醫學系
76.	10	Polycystic kidney bilateral and renal failure	Cat	美國紐約動物醫學中心
80.	10	Glomerular sclerosis and hyalinosis, segmental, focal, chronic, moderate Benign hypertension	SHR rat	國防醫學院 & 國家實驗動物繁殖及研究中心
83.	10	Phagolysosome-overload nephropathy	SD rats	國家實驗動物繁殖及中心
85.	10	Renal amyloidosis	Dog	台灣養豬科學研究所
89.	10	Severe visceral gout due to kidney damaged infectious serositis	Goose	中興大學獸醫學系

91.	10	Hypervitaminosis D	Orange-rumped agoutis	台灣大學獸醫學系
	14	Cystic endometrial hyperplasia	Dog	臺灣養豬科學研究所
	14	Cystic subsurface epithelial structure (SES)	Dog	國科會實驗動物中心
	15	Superficial necrolytic dermatitis	Dog	美國紐約動物醫學中心
	15	Solitary congenital self-healing histiocytosis	Human	羅東博愛醫院
	15	Alopecia areata	Mouse	國家實驗動物繁殖及研究中心
	17	Avian encephalomalacia (Vitamin E deficiency)	Chicken	國立屏東科技大學獸醫學系
151	18	Osteodystrophia fibrosa	Goat	台灣養豬科學研究所&台東縣家畜疾病防治所
	20	Hypertrophic cardiomyopathy	Pig	台灣大學獸醫學系
	21	Chinese herb nephropathy	Human	三軍總醫院病理部及腎臟科
	21	Acute pancreatitis with rhabdomyolysis	Human	慈濟醫院病理科
	21	Malakoplakia	Human	彰化基督教醫院
	25	Darier's disease	Human	高雄醫學大學病理科
191	27	1. Polyarteritis nodosa 2. Hypertrophic Cardiomyopathy	Feline	台灣大學獸醫學系
193	27	Norepinephrin cardiotoxicity	Cat	台中榮總
196	27	Cardiomyopathy (Experimental)	Mice	綠色四季
212	30	Kikuchi disease (histiocytic necrotizing lymphadenitis)	Lymphadenitis	耕莘醫院病理科
225	32	Calcinosis circumscripta, soft tissue of the right thigh, dog	Dog	台灣大學獸醫所
230	34	Hemochromatosis, liver, bird	Bird	台灣大學獸醫學系
234	34	Congenital hyperplastic goiter	Holstein calves	屏東縣家畜疾病防治所
236	34	Hepatic lipidosis (fatty liver)	Rats	中興大學獸醫學病理學研究所
237	35	Arteriovenous malformation (AVM) of cerebrum	Human	耕莘醫院病理科
244	35	Organophosphate induced delayed neurotoxicity in hens	Hens	中興大學獸醫學病理學研究所

257	37	Severe lung fibrosis after chemotherapy in a child with Ataxia- Telangiectasia	Human	慈濟醫院病理科
294	42	Arteriovenous malformation of the left hindlimb	Dog	台灣大學獸醫學系
299	43	Polioencephalomalacia	Goat kid	屏東家畜疾病防治所
310	44	Hyperplastic goiter	Piglet	屏東家畜疾病防治所
311	44	Melamine and cyanuric acid contaminated pet food induced nephrotoxicity	Rat	中興大學獸醫學病理學研究所
318	45	Alfatoxicosis	Canine	國立臺灣大學獸醫專業學院
333	47	Lordosis, C6 to C11	Penguin	國立臺灣大學獸醫專業學院
341	49	Pulmonary placental transmogrification	Human	羅東博愛醫院
345	49	Acute carbofuran intoxication	Jacana	國立中興大學獸醫學院
350	50	Malakoplakia, liver	Human	慈濟綜合醫院暨慈濟大學
351	50	Eosinophilic granuloma, Right suboccipital epidural mass	Human	羅東博愛醫院病理科
359	51	Eosinophilic granuloma with fungal infection, Skin	Cat	國立臺灣大學獸醫專業學院
360	51	Septa panniculitis with lymphocytic vasculitis	Human	慈濟綜合醫院暨慈濟大學
361	51	Hepatotoxicity of SMA-AgNPs	Mouse	國立中興大學獸醫病理生物學研究所
363	51	Hypertrophy osteopathy	Cat	國立臺灣大學獸醫專業學院
372	52	Snake bite suspected, skin and spleen	Monkey (red guenon)	國立臺灣大學獸醫專業學院
383	54	Langerhans cell histiocytosis	Human	聖馬爾定醫院病理科
388	54	Canine protothecosis	Dog	國立臺灣大學獸醫專業學院
392	55	Lithium nephrotoxicity	Human	佛教慈濟綜合醫院暨慈濟大學病理科
398	56	Gamma-knife-radiosurgery-related demyelination	Human	佛教慈濟綜合醫院暨慈濟大學病理科

400	56	Canine Disseminated form Granulomatous Meningoencephalitis (GME)	Dog	國立屏東科技大學獸醫 教學醫院病理科
419	60	Mucopolysaccharidosis	Cat	國立中興大學獸醫病理 生物學研究所
426	61	Phleboliths in a man	Human	台北醫學大學附設醫院 口腔外科口腔病理科
427	61	Visceral gout in a Green iguana (Iguana iguana)	Iguana	中興大學獸醫病理生物 學研究所
431	62	pulmonary alveolar proteinosis in a man	Human	羅東博愛醫院病理科
432	62	Congenital pulmonary airways malformation, type 2 in a women	Human	高雄醫學大學附設醫院
437	63	Large solitary luteinized follicular cyst of pregnancy and puerperium	Human	羅東博愛醫院病理科
454	66	Eosinophilic granuloma	Human	佛教慈濟綜合醫院暨慈 濟大學病理科
461	67	Intestinal emphysema	Pig	中興大學獸醫病理生物 學研究所
466	67	Nodular goiter	Human	彰化秀傳醫院病理科
474	68	Parastrongyliasis (Previously called Angiostrongyliasis)	squirrel	中興大學獸醫病理生物 學研究所
475	69	Bronchogenic cyst	Dog	國立臺灣大學獸醫專業 學院
480	69	Toxic pneumonitis caused by inhalation of waterproofing spray	Dog	中興大學獸醫學病理學 研究所
486	70	IgG4-related sclerosing cholangitis (ISC)	Human	天主教耕莘醫療財團法 人耕莘醫院
488	70	Crohn's disease	Human	彰化基督教醫院病理部
Gross	64	Hydronephrosis	Pig	中興大學獸醫病理生物 學研究所
Gross	65	1. Traumatic pericarditis, severe, chronic progressive, diffuse, heart. 2. Hardware disease	Cattle	中興大學獸醫病理生物 學研究所
497	72	Combined central and peripheral demyelination (CCPD)	Dog	國立臺灣大學獸醫專業 學院
498	72	Inflammatory demyelinating pseudotumour	Human	佛教慈濟綜合醫院暨慈 濟大學病理科

500	72	Ischemic stroke in a dog	Dog	中興大學獸醫病理生物學研究所
504	73	Autoimmune pancreatitis (IgG4 related pancreatitis)	Human	羅東博愛醫院病理科
505	73	Thrombotic microangiopathy with hemorrhagic infarct of brain, acute myocardial ischemia and acute kidney injury	Human	佛教慈濟綜合醫院暨慈濟大學病理科
507	73	The most likely diagnosis is erythema multiforme (EM).	Dog	國立臺灣大學獸醫專業學院
509	73	Doxorubicin-induced diseases	Chicken	中興大學獸醫病理生物學研究所
518	74	Idiopathic multicentric Castleman disease with abundant IgG4-positive cells	Human	佛教慈濟綜合醫院暨慈濟大學病理科
527	75	Coryneform hyperkeratosis in NOG mice	Mice	中興大學獸醫病理生物學研究所
534	76	Multiple Cartilaginous Exostoses Causing Spinal Cord Compression in a Dog	Dog	中興大學獸醫病理生物學研究所
535	76	Chondrodysplasia, diffuse, severe, chronic, growth plate, femur.	Rat	中興大學獸醫病理生物學研究所
539	77	Epitheliotropic mastocytic conjunctivitis	Cat	臺灣動藥國際股份有限公司
541	77	Protothecosis	Dog	國立臺灣大學獸醫專業學院
546	78	Ascites syndrome in broilers	Avian	國立中興大學動物疾病診斷中心
557	80	Systemic lupus erythematosus with erythema multiforme-like lesions, human	Human	佛教慈濟綜合醫院暨慈濟大學病理科
558	80	Pododermatitis, left forelimb and right hindlimb foot pad	Cat	霍普獸醫病理診斷中心
565	82	Intestinal intramural hemorrhage/hematoma, small intestine	Dog	霍普獸醫病理診斷中心
575	84	Ovotestes, epididymis, and uterus, reproductive organs	Cat	霍普獸醫病理診斷中心
576	84	Oxalate nephropathy	Asian yellow pond turtle	國立中興大學獸醫病理生物學研究所

			( 柴 棺 龜 ; Mauremys mutica)	
578	84	Yolk embolism	Savannah monitor	國立台灣大學獸醫專業 學院分子暨比較病理生 物學研究所
589	87	Portosystemic shunt	feline	霍普獸醫病理診斷中心
591	87	Fabry disease	human	三軍總醫院病理科
592	87	Atherosclerosis	mouse	財團法人國家實驗研究 院國家實驗動物中心
593	88	Minute pulmonary meningothelial- like nodules	human	羅東博愛醫院
601	89	Feline gastrointestinal eosinophilic sclerosing fibroplasia	cat	立眾病理實驗室
615	92	Disorder of sexual development	Dog	國立台灣大學獸醫專業 學院分子暨比較病理生 物學研究所
627	94	Ochronotic arthropathy	human	三軍總醫院
628	95	Neuronal ceroid lipofuscinosis	feline	國立台灣大學獸醫專業 學院分子暨比較病理生 物學研究所

## 會員資料更新服務

各位會員：

您好！如果您的會員資料有更新或誤刊情形，麻煩您填妥表格後寄回學會秘書處或電話連絡：

中華民國比較病理學會秘書處

張晏禎 副教授

cscptaiwan@gmail.com

02-33663873

106 台北市羅斯福路四段一號 國立台灣大學 獸醫專業學院

-----中華民國比較病理學會-----

會員資料更改卡

姓 名：\_\_\_\_\_ 會員類別：一般會員

學生會員

贊助會員

最高學歷：\_\_\_\_\_

服務單位：\_\_\_\_\_ 職 稱：\_\_\_\_\_

永久地址：\_\_\_\_\_

通訊地址：\_\_\_\_\_

電 話：\_\_\_\_\_ 傳 真：\_\_\_\_\_

E-Mail Address: \_\_\_\_\_

中華民國比較病理學會  
誠摯邀請您加入

## 入會辦法

### 一、 本會會員申請資格為：

(一) 一般會員：贊同本會宗旨，年滿二十歲，具有國內外大專院校（或同等學歷）生命科學及其它相關科系畢業資格或高職畢業從事生命科學相關工作滿兩年者。

(二) 學生會員：贊同本會宗旨，在國內、外大專院校生命科學或其他相關科系肄業者（請檢附學生身份證明）。

(三) 贊助會員：贊助本會工作之團體或個人。

(四) 榮譽會員：凡對比較病理學術或會務之推廣有特殊貢獻，經理事會提名並經會員大會通過者。

### 二、 會員：

(一) 入會費：一般會員新台幣壹仟元，學生會員壹佰元，贊助會員伍仟元，於入會時繳納。

(二) 常年會費：一般會員新台幣壹仟元，學生會員壹佰元。

**【註：學生會員身份變更為一般會員時，只需繳交一般會員之常年會費】**

三、入會費及常年會費繳交方式：以銀行轉帳或匯款（006 合作金庫銀行、帳號：0190-717-052017、戶名：中華民國比較病理學會）；並請填妥入會申請表連同銀行轉帳交易明細表或匯款單以郵寄或傳真方式寄回中華民國比較病理學會秘書處張晏禎老師收。地址：106 台北市羅斯福路四段一號 國立台灣大學 獸醫專業學院

電話：02-33663873

# 中華民國比較病理學會入會申請及會員卡

會電腦編號

姓名	中文	性別 <input type="checkbox"/> 男 <input type="checkbox"/> 女	出生	民國 年 月 日		出生地
	英文		身份証			
		會員身份： <input type="checkbox"/> 一般 <input type="checkbox"/> 學生 <input type="checkbox"/> 贊助				
學歷	(1)		稱謂(圈選) 先生 小姐 醫師 獸醫師 教授 博士 研究員 主任 其他:			
	(2)		研究 興趣	(1)		
	(3)			(2)		
	(4)			(3)		
主要 經 歷	機關名稱		職務	起	止	
				年 月	年 月	
				年 月	年 月	
現職				年 月	年 月	
通訊地址 現在： 電話： 傳真：						
永久： 電話 傳真：						
電子信箱(E-mail)：						
茲 贊 同 貴會宗旨擬加入為會員嗣後並願遵守一切章共圖發展 此 致 中華民國比較病理學會 申請人 簽章 介紹人 簽章 介紹人 簽章 中華民國 年 月 日					審核結果	